

## دراسة التغيرات في عناصر المناخ بمحطة طبرق خلال أربع فترات زمنية بين ١٩٨٦ و ٢٠٢١ م

د/ فدوی إبراهيم سالم العقوري

أ/ صبریه حمد جمعه فضل لله القطعاني

(عضو هيئة تدريس في قسم الجغرافيا كلية الآداب والعلوم الإبليار - جامعة بنغازي)

نشر إلكترونياً بتاريخ: ١٤٢٥ م نشر إلكترونياً بتاريخ: ١٤٢٥ م

### الملخص :

تهدف هذه الدراسة بتحليل أربع فترات زمنية لظواهر عناصر المناخ في محطة طبرق للفترة بين ١٩٨٤-٢٠٢١ م وذلك بتحليل العناصر المناخية التالية (الإشعاع الشمسي الكلي (كيلووات ساعة / م٢ / يوم) - كل مؤشر نقاوة تشميس السماء - درجة الحرارة (٠٠ م)- درجة الحرارة العظمى (٠٠ م)- درجة الحرارة الصغرى (٠٠ م)- درجة حرارة سطح الأرض (٠٠ م)- البخار نتح الممکن (ملم)- الضغط الجوي عند مستوى سطح البحر (مليبار)- الرطوبة النسبية (%) - كمية المطر (ملم)- نقطة التذابي- سرعة الرياح (عقدة)- اتجاه الرياح) وهذا من خلال تقسيم الفترة المذكورة للدراسة إلى أربع مجموعات من قبل الباحثة، لإظهار دراسة دقيقة لكل فترة بحيث تشمل كل مجموعة تسع سنوات، وهي على النحو التالي: المجموعة الأولى بين عامي (١٩٨٦-١٩٩٤ م)، المجموعة الثانية بين عامي (١٩٩٥-٢٠٠٣ م)، المجموعة الثالثة بين عامي (٢٠٠٤-٢٠١٢ م)، المجموعة الرابعة بين عامي (٢٠١٣-٢٠٢١ م). والتي يتبع من خلال تحليل بيانات كل مجموعة، واستخراج متosteats السنوية، والانحراف المعياري، وعلاقة الارتباط، وأعلى قيمة واقل قيمة، والمدى السنوي لكل فترة، وبالنظر لأعلى قيمة متosteats درجات الحرارة (٢٠.٤٦ م) نجد أنها تزامنت مع أعلى قيمة لحرارة سطح الأرض (٢١.٦٩ م) وبرغم ارتفاع درجة الحرارة هذه الفترة إلا أن قيمة كمية المطر سجلت أعلى قيمها بنفس الفترة (٠.٩٧ م)، واقل درجة حرارة (١٨.٣٧ م) تزامن مع أعلى قيمة مقدار تواجد السحب (٥٢.٧٧ م) واقل قيمة ندى (١١.٣٩ م) وأعلى ارتفاع في الضغط الجوي (١٠٠.٤٢ كيلووات ساعة / م٢ / يوم) في المجموعة الأولى (١٩٨٦-١٩٩٤ م). ومنه أن منطقة الدراسة ذات ارتفاع في قيم البخار (١٣٨.٩٦ م) تزامنت معها قلت كمية المطر (٠.١٦ م) في الفترة الثالثة (٢٠١٢-٢٠٠٤ م).

### الكلمات المفتاحية :

( محطة طبرق - مقارنة زمنية للتغير المناخي - تحليل المناخ - الفترات الزمنية )

## المقدمة :

دراسة المناخ هي المجال العلمي الذي يركز على تحليل وفهم الأنماط والاتجاهات المناخية على مدى فترات زمنية طويلة، غالباً تمتد لعدة عقود أو قرون. ترتكز دراسة المناخ على جمع وتحليل بيانات الطقس المستمرة، بهدف فهم التغيرات المناخية، وتحديد الأنماط الموسمية والسنوية، وتقدير تأثيرات التغيرات المناخية على البيئة والأنشطة البشرية (Andrew, 2012,p.18)

هو أحد الضوابط الهامة التي ينعكس أثرها على الاختلافات المكانية الطبيعية منها والبشرية على سطح الأرض، ويتحدد المناخ بتأثير مجموعة من عناصر الغلاف الجوي، وأي تغير يحدث في المناخ ينبع عن تغير للعناصر المناخية، ومن ذلك تم التركيز في هذا البحث على عناصر المناخ في محطة طبرق، وباستخدام برنامج EXCIL تم استخراج النتائج الحسابية، والرسومات البيانية لعناصر المناخ وهي الإشعاع الشمسي، ودرجة الحرارة العظمى والصغرى، والبخار، والضغط الجوي، والرطوبة النسبية، وكمية المطر، ونقطة الندى، وسرعة الرياح، ومدى تغير قيمها بالزيادة او بالنقصان عبر أربع فترات زمنية من عام ١٩٨٦ م إلى ٢٠٢١ م وهي الفترة الأولى (١٩٨٦ - ١٩٩٤)، الفترة الثانية (١٩٩٥ - ٢٠٠٣)، الفترة الثالثة (٢٠٠٤ - ٢٠١٢)، الفترة الرابعة (٢٠١٣ - ٢٠٢١)، من خلال متطلبات شهرية وسنوية وكذلك استخراج الانحراف المعياري، وعلاقة الارتباط لعناصر المناخية وذلك لإعطاء صورة متكاملة لعناصر المناخية من خلال بيانات هذه المحطة.

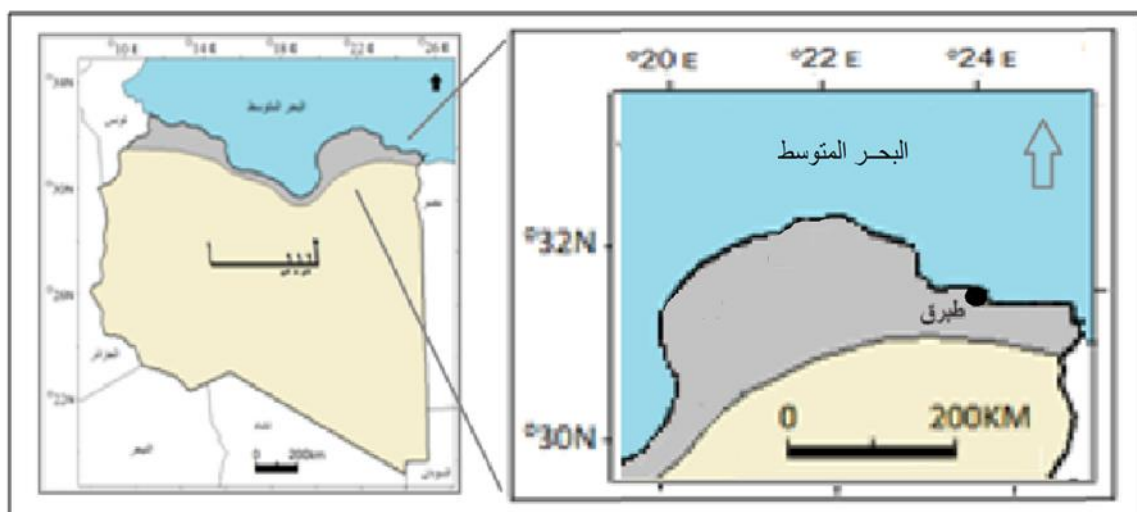
### منطقة الدراسة

تشمل حدود منطقة الدراسة المجالات الآتية :

المجال الجغرافي: تقع منطقة الدراسة في شرق البلاد (خرائط رقم ١) هي مدينة ساحلية تقع في شمال شرق ليبيا على الساحل المتوسط . (الزروق، ٢٠١٢م، ص ٣٠)

المجال الفلكي: تقع محطة طبرق على دائرة عرض ٣٢.٠٦٨ شمالاً وخط طول ٢٣.٩٤٣ شرقاً، وعلى ارتفاع ٤٥.٤٥ متر فوق مستوى سطح البحر (العقربي، ٢٠٢١م، ص ١١)

شكل ( ١ ) موقع منطقة الدراسة ومحطات الأرصاد الجوية



## مشكلة الدراسة

يوجد تغيرات في النظم البيئية في مدينة طبرق نتيجة للتغير المناخي، وقد ارتفعت بشكل ملحوظ في العقود الأخيرة وذلك عن تقرير من الهيئة العامة للبيئة في ليبيا (Yasser. ٢٠١٩), p.54 وان دراسة وتحليل قيم عناصر المناخ في محطة طبرق والتي تغطي نتائج عناصرها المناخية مدينة طبرق التي تطل على البحر ومناطق داخلية ذات منسوب ارتفاع مختلف لمعرفة مدى التغير ألماني للعناصر قيد الدراسة.

## أهداف البحث

1. تحليل التغير الزمني لعناصر المناخ (الإشعاع الشمسي- درجة الحرارة العظمى والصغرى- البحر- الضغط الجوى- الرطوبة النسبية- كمية المطر- نقطة الندى- سرعة الرياح) في منطقة الدراسة.
2. المقارنة الزمنية لكل عنصر مناخى في منطقة الدراسة بتقسيم أربع فترات للمدة بين ١٩٨٦ - ٢٠٢١.
3. استخراج قيم (المتوسطات السنوية- علاقة الارتباط – نوع علاقة الارتباط- الانحراف المعياري- نوع الانحراف المعياري- أقل القيم- أعلى القيم – المدى السنوي) لكل فترة زمنية من الأربع فترات المقارنة وذلك من المتوسطات السنوية لعناصر المناخ في منطقة الدراسة.
4. الوصول إلى نتائج تبين نوع المناخ المحلي في منطقة الدراسة ووضع التوصيات لذلك.

## أهمية البحث

تحليل بيانات للتغير المناخي لمدة ٣٦ سنة امتدت من ١٩٨٦/١/١ إلى ٢٠٢١/١٢/٣١ لإظهار التباين للخصائص المناخية في محطة طبرق .  
تساؤلات الدراسة

1. هل يوجد تغير في قيم عناصر المناخ في المجموعات الأربع المدروسة للفترة بين ١٩٨٦ - ٢٠٢١؟
2. هل تقسيم المجموعات الأربع لسنوات الدراسة اتضحت منه أن هناك تغير في عناصر المناخ؟
3. هل اختلف نوع علاقة الارتباط والانحراف المعياري لعناصر المناخ بالمجموعات الأربع؟
4. هل أعلى القيم وأقلها والمدى السنوي ازدادت قيمة أم كانت بالنقصان في المجموعات الأربع؟

## منهجية الدراسة

تتمثل في جمع وتحليل بيانات المناخ من محطات الأرصاد الجوية طبرق، وتقسيم هذه البيانات إلى فترات زمنية محددة لتحليل التغيرات في العناصر المناخية مثل درجة الحرارة، الأمطار، الرطوبة، وغيرها. يتم إجراء التحليل الإحصائي لاستخراج القيم المختلفة (المتوسطات، الارتباط، الانحراف المعياري)، ثم يتم مقارنة هذه البيانات بين الفترات الزمنية المختلفة، للوصول إلى استنتاجات حول نوع المناخ المحلي وتقديم التوصيات الالزمة للتكيف مع التغيرات المناخية في المنطقة.

## الدراسات السابقة

- دراسة على عمار، "تغيرات المناخ في المنطقة الغربية الليبية: تحليل لدرجة الحرارة والأمطار" ٢٠١٧م، تهدف هذه الدراسة إلى تحليل التغيرات المناخية في المنطقة الغربية من ليبيا، مثل مصراة و زوارة، من حيث التغيرات في درجات الحرارة و هطول الأمطار. كما تناولت التأثيرات المحتملة على الموارد الطبيعية مثل المياه و النباتات.
- دراسة عبد الله الهادي الطاهر، "التغير المناخي في منطقة الجبل الأخضر: الآثار البيئية على المحاصيل الزراعية والمياه" ٢٠١٧م ، تناولت الدراسة التغيرات المناخية في منطقة الجبل الأخضر في ليبيا، خصوصاً فيما يتعلق بتأثيراتها على الزراعات التقليدية في المنطقة. كما استعرضت العلاقة بين التغير المناخي وموارد المياه، وخاصةً الجفاف المستمر الذي يؤثر على مصادر المياه العذبة.
- دراسة خالد الفيتوري، "التغير المناخي في الجبل الأخضر: تأثيرات تغيرات درجات الحرارة و هطول الأمطار على الزراعة" ٢٠١٩م، ركزت هذه الدراسة على تحليل التغيرات في درجات الحرارة و هطول الأمطار في منطقة الجبل الأخضر في ليبيا، وناقشت تأثيرات هذه التغيرات على الإنتاج الزراعي في المنطقة. تم استخدام بيانات من محطات الأرصاد الجوية المحلية لتحليل الاتجاهات المناخية، مع التركيز على المحاصيل التي تزرع في المنطقة مثل الزيتون والقمح
- دراسة حسن بن ناصر، "تغيرات المناخ في شرق ليبيا: دراسة تحليلية للمناخ في شحات و طبرق و بنغازي" ٢٠٢٠م، استعرضت الدراسة تحليل تغيرات عناصر المناخ في شرق ليبيا، مع التركيز على شحات و طبرق و بنغازي. تم تحليل التغيرات في درجات الحرارة، هطول الأمطار، الرطوبة و الرياح وتأثير هذه التغيرات على الأنشطة الاقتصادية و الزراعة.
- دراسة محمد بن مصطفى، "التغيرات المناخية في المنطقة الشرقية من ليبيا: تحليل تغيرات عناصر المناخ في طبرق" ٢٠١٩م، تناولت الدراسة التغيرات المناخية في المنطقة الشرقية من ليبيا، مع التركيز خاص على مدينة طبرق. تم تحليل الحرارة، هطول الأمطار، الرطوبة النسبية، و الرياح على مدى عدة عقود، لتحديد تأثير التغيرات المناخية على الزراعة، الموارد المائية، و الأنشطة الاقتصادية في المنطقة.
- دراسة علي سالم الشوشان، "تغيرات المناخ في المدن الساحلية الليبية: دراسة حالة طبرق و بنغازي" ٢٠١٨م، قدمت الدراسة تحليلاً لتغيرات عناصر المناخ في المدن الساحلية الليبية، بما في ذلك طبرق و بنغازي. تم تحديد التغيرات في درجات الحرارة، هطول الأمطار، و التغيرات في الرياح. كما تم تحليل تأثير هذه التغيرات على البيئة، و الموارد المائية، و النشاط الزراعي.
- دراسة أحمد الكوافي، "التغيرات المناخية وأثرها على الزراعة في طبرق: دراسة حالة" ٢٠٢٠م، تم في هذه الدراسة تحليل التأثيرات المناخية على الزراعة في طبرق، مع التركيز على التغيرات في هطول الأمطار و زيادة درجات الحرارة. كما تم فحص كيف تؤثر هذه التغيرات على المحاصيل الرئيسية في المنطقة مثل الحبوب و الخضروات.
- دراسة فاطمة الطيب، "تغيرات المناخ في المنطقة الساحلية الليبية: دراسة حالة طبرق و بنغازي" ٢٠٢١م، اهتمت هذه الدراسة بتحليل التغيرات في العوامل المناخية مثل درجات الحرارة و هطول الأمطار في المنطقة الساحلية الليبية، التي تشمل طبرق و بنغازي. تم دراسة تأثير هذه التغيرات على النظام البيئي، و التنوع البيولوجي، و الموارد المائية.

جدول (١) المتوسط السنوي لعناصر المناخ بمحطة طبرق للفترة بين (١٩٨٦-١٩٩٤م) - (المجموعة الأولى)

المصدر: من إعداد الباحثة بناءً على بيانات (<https://power.larc.nasa.gov/data-access-viewer>)

جدول (٢) المتوسط السنوي لعناصر المناخ بمحطة طبرق للفترة بين (١٩٩٥-٢٠٠٣م) - (المجموعة الثانية)

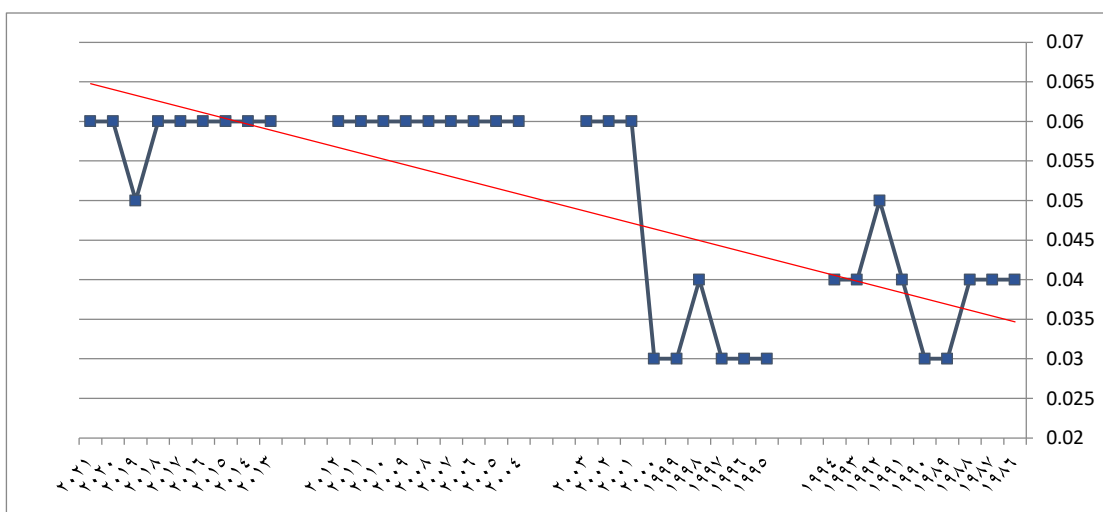
المصدر: من إعداد الباحثة بناءً على بيانات (<https://power.larc.nasa.gov/data-access-viewer>)

جدول (٤) المتوسط السنوي لعناصر المناخ بمحطة طبرق للفترة بين (٢٠١٣-٢٠٢١م) - (المجموعة الرابعة)

المصدر: من إعداد الباحثة بناءً على بيانات (<https://power.larc.nasa.gov/data-access-viewer>)

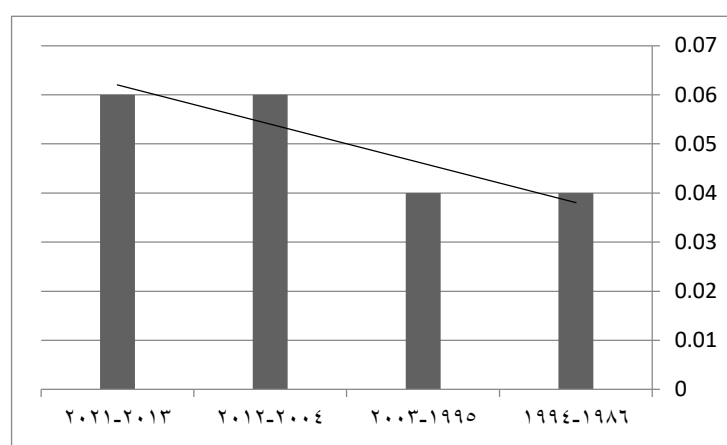
الإشعاع الشمسي الكلي هو كمية الطاقة التي تصل إلى سطح الأرض من الشمس، يتم قياسه بوحدات الوات لكل متر مربع ( $\text{W/m}^2$ ) (John, 1986,p. 45) وتشمل جميع الأطيف الطيفية من الإشعاع الشمسي. بما في ذلك الضوء المرئي والأشعة فوق البنفسجية والأشعة تحت الحمراء (WMO website) ".

شكل (٢) مقارنة الأربع مجموعات لمتوسطات السنوية للإشعاع الشمسي الكلي (كيلووات ساعة / م٢ / يوم) في محطة طبرق للفترة بين ١٩٨٦-٢٠١١

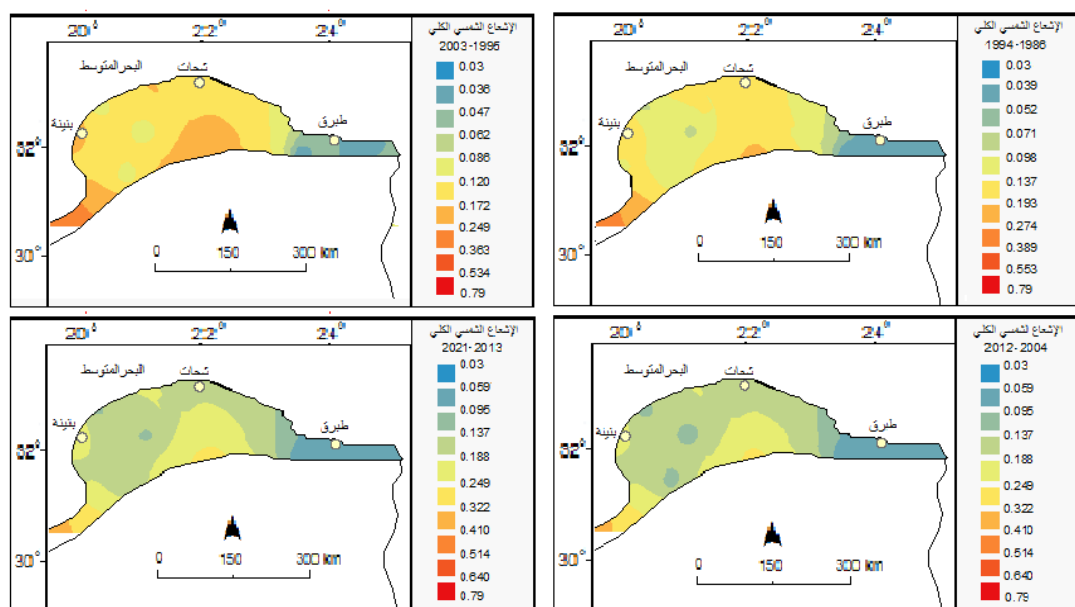


يتبيّن من خلال الجداول (١)، (٢)، (٣)، (٤) والشكل المرفق (٢) أن أعلى القيم ٦٠٠٠ (كيلووات ساعة / م٢ يوم) إذ سجلت في عام ٢٠٠١ - ٢٠٠٣ في الفترة الثانية وفي كل السنوات الفترة الثالثة والرابعة فيما عدا عام ٢٠١٩، بينما نجد أقل القيم سجلت ٣٠٠٠ (كيلووات ساعة / م٢ يوم) عام ١٩٨٩ - ١٩٩٠ في الفترة الأولى وعام ١٩٩٥ - ١٩٩٧ - ١٩٩٦ - ١٩٩٩ - ٢٠٠٠ (م٢٠٠٠) في الفترة الثانية، وهذا يبيّن أن حدود أعلى القيم في الأربع فترات المقارنة زاد تواجدها مع زيادة السنوات بينما أقل القيم كانت ضمن المجموعتين الأولى والثانية وهذا يدل على أن القيم في ارتفاع لكمية الإشعاع الشمسي كما يتبيّن من الشكل (٣) ومن خلال الخريطة المرفقة شكل رقم (٤) إن المجموعات الأربع تتدرج قيمها ضمن القيم المتوسطة وإن كان هناك اختلاف بسيط بتغيير القيم مع تقدم السنوات.

شكل (٣) مقارنة الأربع مجموعات للمعدل السنوية للإشعاع الشمسي الكلي (كيلووات ساعة / م٢ يوم) في محطة طبرق للفترة بين ١٩٨٦-٢٠٢١م



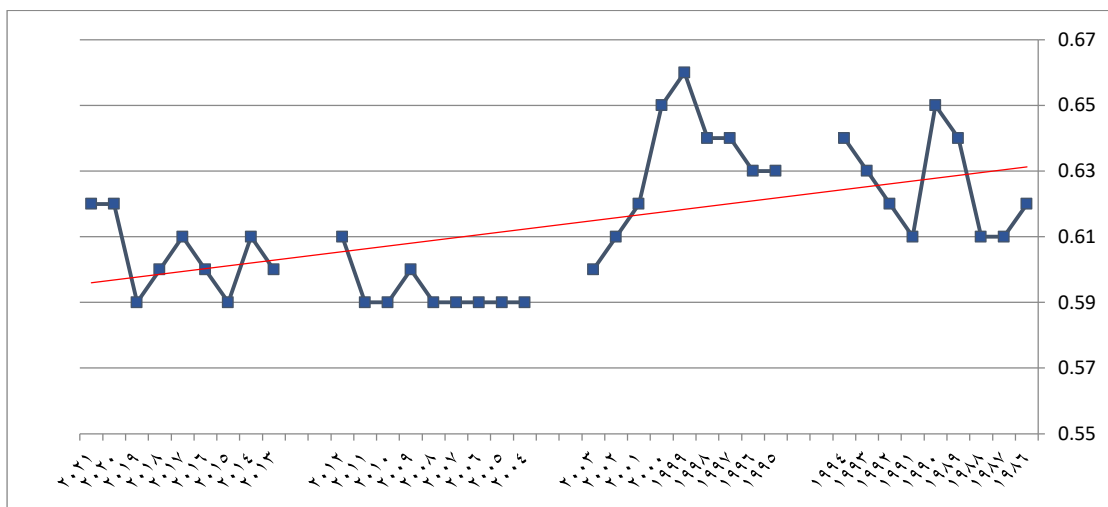
شكل (٤) مقارنة الأربع مجموعات للمتوسطات السنوية للإشعاع الشمسي الكلي (كيلووات ساعة / م٢ يوم) في محطة طبرق للفترة بين ١٩٨٦-٢٠٢١م



كل مؤشر نقاوة تشميس السماء

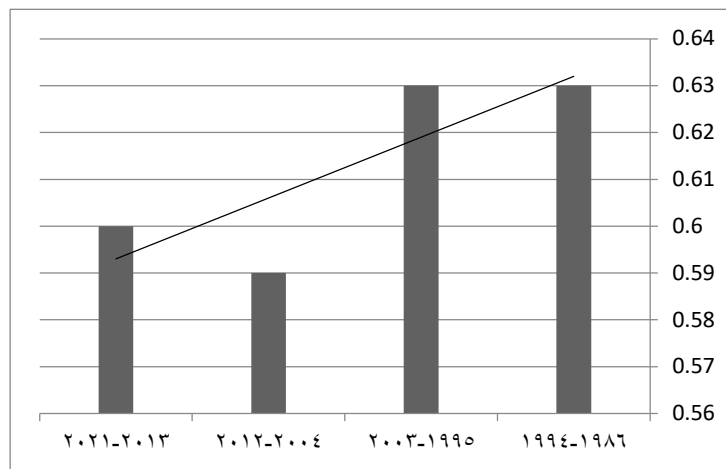
يقيس تأثير التلوث والغيم على الإشعاع الشمسي الذي يصل إلى سطح الأرض. يشمل تأثير العوامل الجوية مثل التلوث الجو، يعتمد عادةً على قياس الإشعاع الشمسي واستخدام نماذج جوية لتحديد التأثيرات المختلفة). (Kurtulus, 2003,p. 80-120)

شكل (٥) مقارنة الأربع مجموعات للمتوسطات السنوية لقيم كل مؤشر نقاوة تشميس السماء في محطة طبرق للفترة بين ١٩٨٦-٢٠٢١م

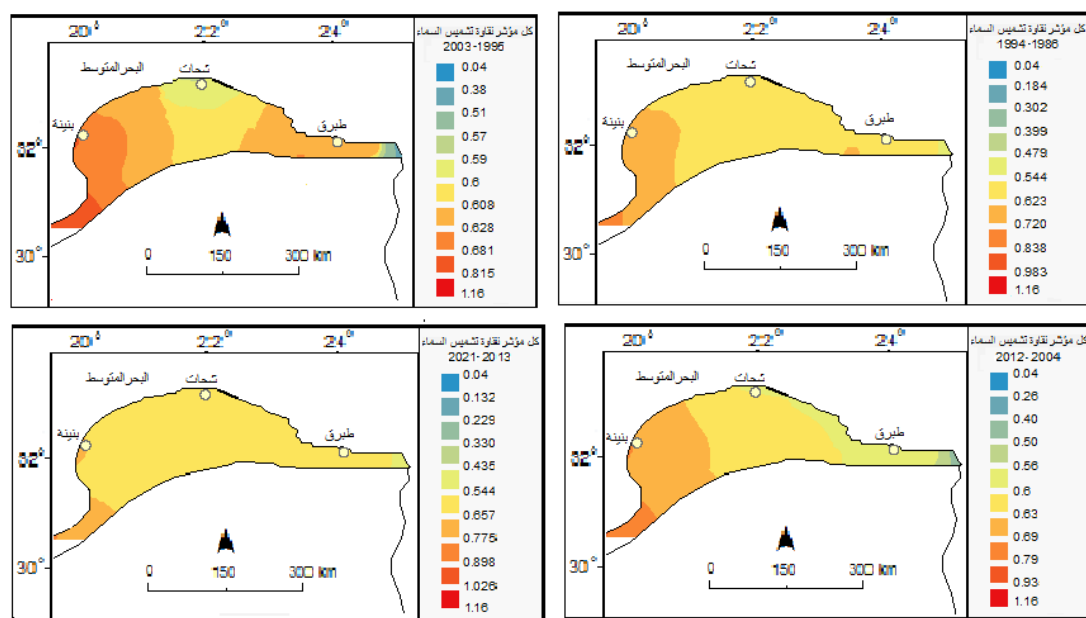


كل مؤشر نقاوة تشميس السماء يدل على مدى السماء تكون صافية ومن خلال الشكل (٥) يتبيّن أن المجموعة الثانية هي أعلى نقاوة سماء بين المجموعات الأربع ومن خلال الجداول ((١)، (٢)، (٣)، (٤)) نجد أن أعلى نقاوة سجلت في المجموعة الأولى ٠.٦٥ عام ١٩٩٠، بينما أعلى نقاوة في المجموعة الثانية ٠.٦٦ عام ١٩٩٩، في حين وصلت أعلىها في المجموعة الثالثة ٠.٦١ عام ٢٠١٢، وهذا يبيّن أن القيم كانت مرتفعة هذا وكانت أعلى القيم في المجموعة الرابعة ٠.٦٢ عام ٢٠٢٠ - ٢٠٢١، وهذا يبيّن أن القيم كانت مرتفعة ثم انخفضت كما يتبيّن من الشكل (٦)، بينما سجلت أقل القيم ٠.٥٩ في أغلب سنوات المجموعة الثالثة وكذلك عامي ٢٠١٩ - ٢٠١٥ ضمن المجموعة الرابعة. ومن خلال الخريطة المرفقة شكل رقم (٧) إن المجموعات الأربع تتدرج قيمها ضمن القيم المتوسطة.

شكل (٦) مقارنة الأربع مجموعات للمعدل السنوية لقيم كل مؤشر نقاوة تشميس السماء في محطة طبرق للفترة بين ١٩٨٦-٢٠٢١م

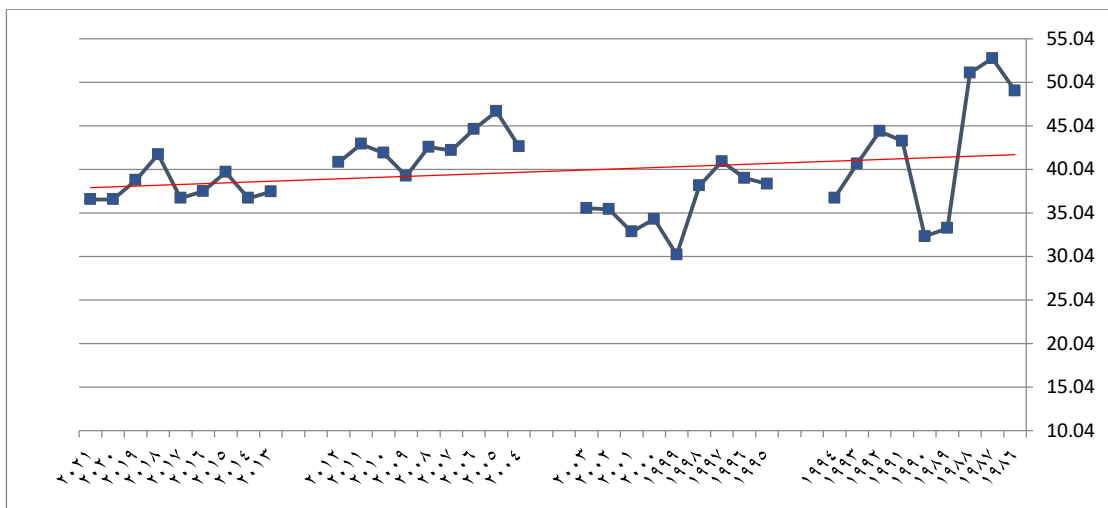


شكل (٧) مقارنة الأربع مجموعات للمتوسطات السنوية لقيم كل مؤشر نقاوة تشميس السماء في محطة طبرق للفترة بين ١٩٨٦-٢٠٢١م



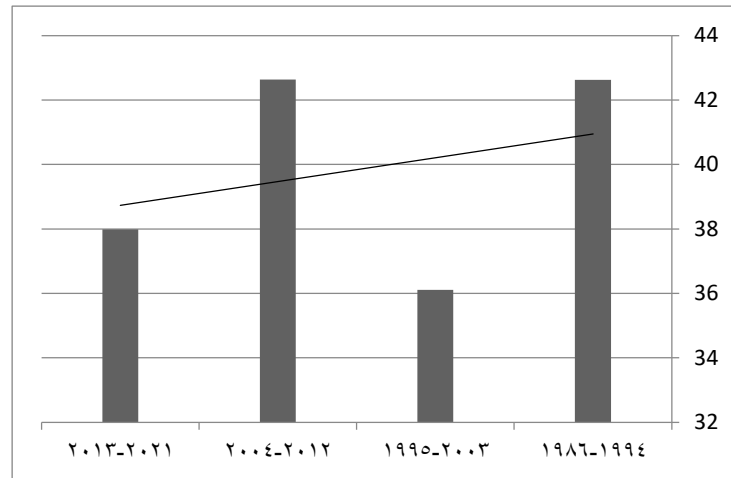
مقدار السحب تشير إلى كمية السحب التي تغطي السماء في منطقة معينة خلال فترة زمنية معينة، وهي لها دور مهم في النظام المناخي حيث تؤثر على درجات الحرارة، وتوزيع الأمطار، وظروف الطقس بشكل عام (شرف، ٢٠٠٠ م.ص ١٩٩)، ويقاس عادةً باستخدام مقياس مختلف مثل "نظام التغطية السحابية" وهو مقياس نسبي، من سماء خالية إلى سماء مغطاة بالكامل بالسحب. Wallace, 2003,p. 130.)

شكل (٨) مقارنة الأربع مجموعات للمتوسطات السنوية لمقدار السحب في محطة طبرق للفترة بين ١٩٨٦-٢٠٢١ م

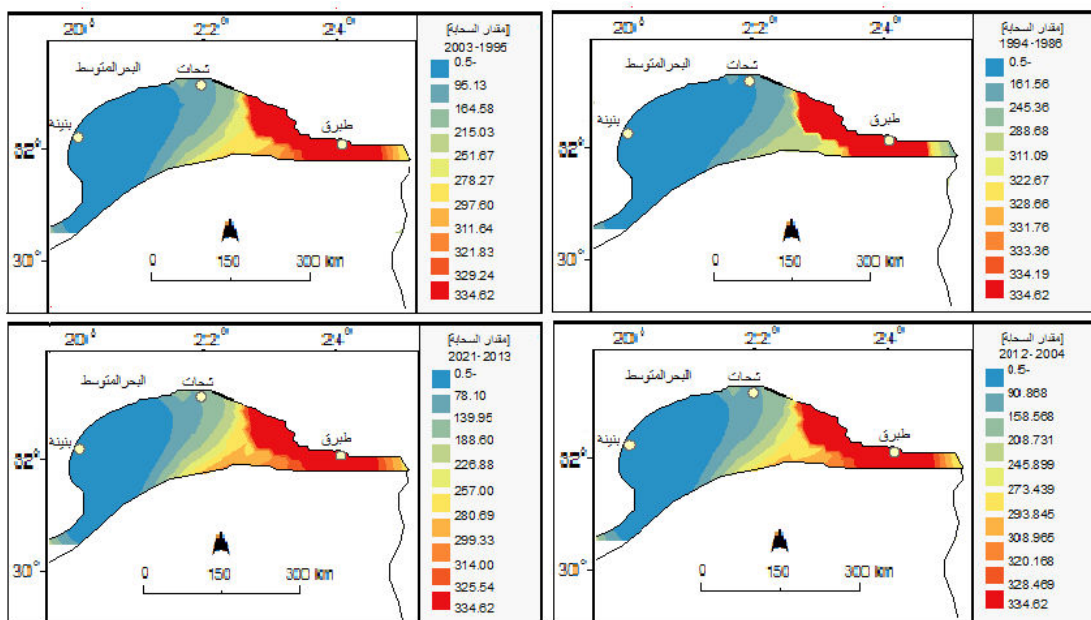


يتبيّن من خلال الجداول (١)، (٢)، (٣)، (٤) والشكل المرفق (٨) أن أعلى القيم ٥٢.٧٧ في عام ١٩٨٧ م في الفترة الأولى بين ١٩٨٦-١٩٩٤ م بينما نجد أعلى قيمة وصلت إلى ٤٠.٩٥ عام ١٩٩٧ م في الفترة الثانية بين ١٩٩٥-٢٠٠٣ م هذا وسجلت القيمة ٤٦.٧ كأعلى قيمة عام ٢٠٠٥ م في الفترة الثالثة بين ٢٠٠٤-٢٠١٢ م بينما كانت القيمة ٤١.٧٦ عام ٢٠١٨ م هي الأعلى ضمن الفترة الرابعة ٢٠١٣-٢٠٢١ م، يتبيّن من ذلك أن القيمة ٥٢.٧٧ هي حدود أعلى القيم في المجموعات الأربع لسنوات المقارنة وهي ضمن المجموعة الأولى، بينما أقل القيم في الأربع مقارنات ٣٠.٢٣ وهذه القيمة كانت ضمن المجموعة الثانية عام ٢٠٠٨ م، ومنه نجد أن القيم كانت مرتفعة ثم أخذت في الانخفاض كما يتبيّن من خط الاتجاه العام في الشكل (٨) ومن خلال المعدل السنوي للمجموعات الأربع شكل (٩) نجد أن القيم كانت مرتفعة ثم انخفضت في المجموعة الثانية وارتفعت من جديد في المجموعة الثالثة ثم حدث انخفاض ثانٍ للقيم ضمن المجموعة الرابعة. ومن خلال الخريطة المرفقة شكل رقم (١٠) إن المجموعات الأربع تضم درجات قيمها ضمن القيم المرتفعة.

شكل (٩) مقارنة الأربع مجموعات للمعدل السنوية لمقدار السحب  
في محطة طبرق للفترة بين ١٩٨٦-٢٠٢١م



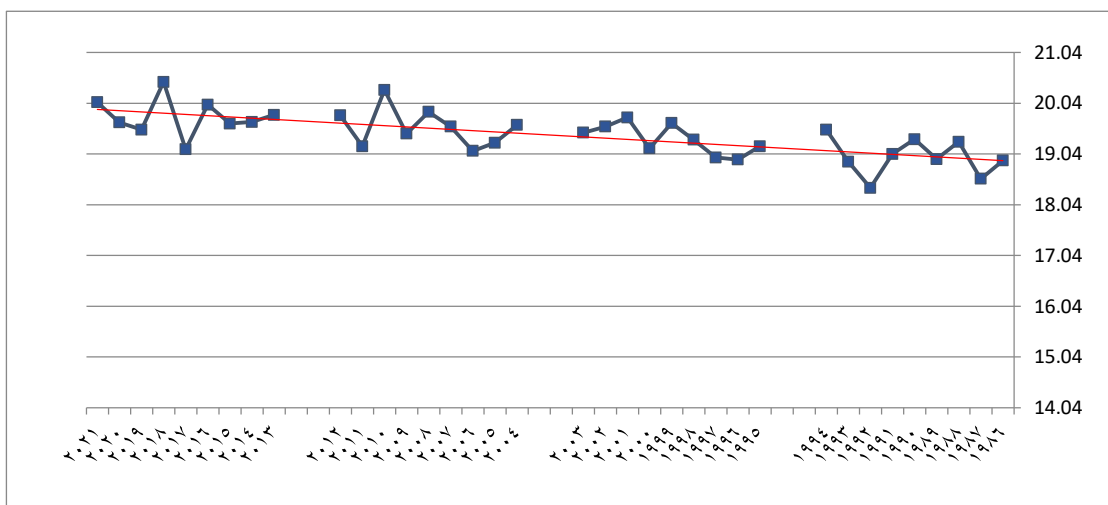
شكل (١٠) مقارنة الأربع مجموعات للمتوسطات السنوية لمقدار السحب  
في محطة طبرق للفترة بين ١٩٨٦-٢٠٢١م



## درجة الحرارة (°م) (العظمي – الصغرى)

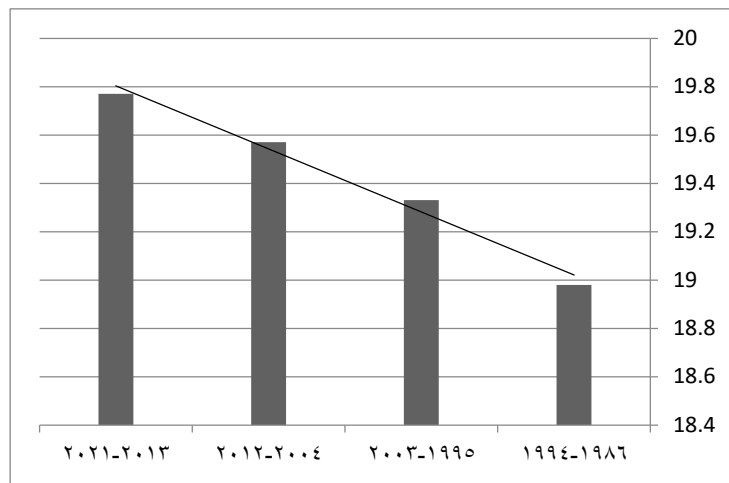
تؤثر درجة الحرارة على باقي العناصر المناخية، مما تعمل على وجود تأثيرات بيئية ينتج عنها تأثيرات صحية واقتصادية زراعية، ولذا فإن دراسة درجة الحرارة من العناصر الهامة لمعرفة مدى تأثيرها وتتأثرها بباقي العناصر المناخية، وهي تستخرج من حاصل جمع أعلى قيمة وهي درجة الحرارة العظمى (Maximum Temperature) وأقل قيمة وهي درجة الحرارة الصغرى (Minimum Temperature) ثم قسمتها على اثنين .

شكل ( ١١ ) مقارنة الأربع مجموعات للمتوسطات السنوية لدرجة الحرارة (°م) في محطة طبرق  
للفترة بين ١٩٨٦-٢٠٢١ م

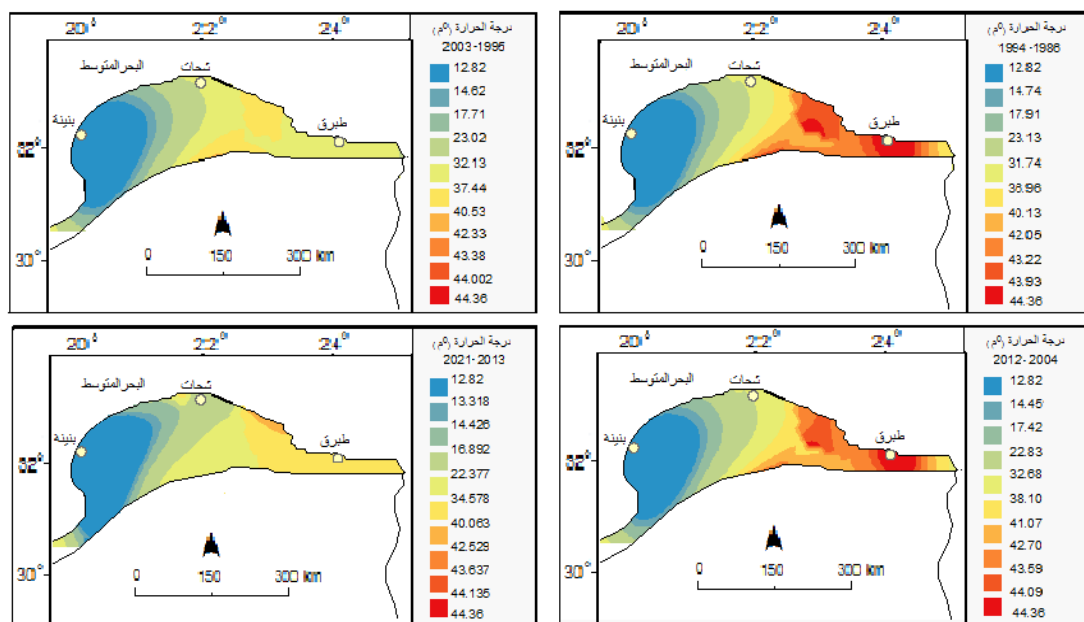


نلاحظ من خلال الشكل ( ١١ ) أن درجات الحرارة في انخفاض كما يتبيّن من خلال خط الاتجاه العام، ومن خلال تحليل الجداول (١)، (٢)، (٣)، (٤) لقيم درجة الحرارة أن أعلى القيم في المجموعة الأولى بين ١٩٨٦-١٩٩٤ م هي ١٩.٥٢ (٠م) في عام ١٩٩٤ م بينما ارتفعت إلى ١٩.٧٦ (٠م) في عام ٢٠٠١ م كأعلى قيمة في المجموعة الثانية بين ١٩٩٤-٢٠٠٣ م، وارتفعت مرة ثانية لتسجل ٢٠.٣ (٠م) في عام ٢٠١٠ م كأعلى قيمة ضمن المجموعة الثالثة بين ٢٠٠٣-٢٠١٣ م، ثم سجلت أعلى قيمة في الأربع مجموعات لتصل إلى ٢٠.٤٦ (٠م) في عام ٢٠١٨ م كأعلى قيمة في المجموعة الرابعة بين ٢٠١٣-٢٠٢١ م، كما يتبيّن من خلال الشكل ( ١٢ ) أن أقل القيم في المجموعات ضمن المجموعة الأولى لتسجل ١٨.٣٧ (٠م) عام ١٩٩٢ م. ومن خلال الخريطة المرفقة شكل رقم ( ١٣ ) إن المجموعات الأربع تدرج قيمها ضمن القيم المرتفعة والمتوسطة .

شكل ( ١٢ ) مقارنة الأربع مجموعات للمعدل السنوية لدرجة الحرارة (°م) في محطة طبرق  
لفترة بين ١٩٨٦-٢٠٢١ م



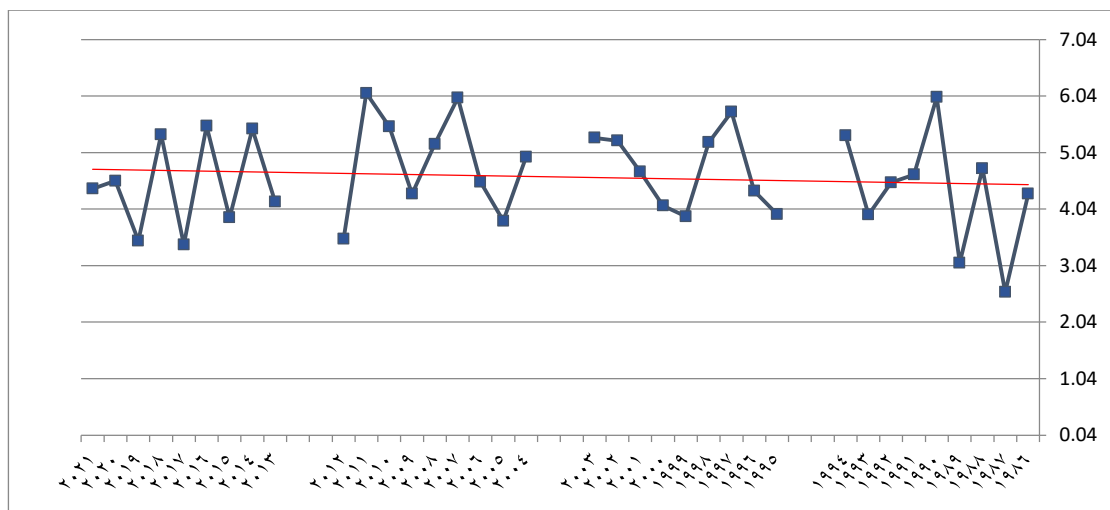
شكل ( ١٣ ) مقارنة الأربع مجموعات للمتوسطات السنوية لدرجة الحرارة (°م) في محطة طبرق  
لفترة بين ١٩٨٦-٢٠٢١ م



درجة الحرارة العظمى (م°)

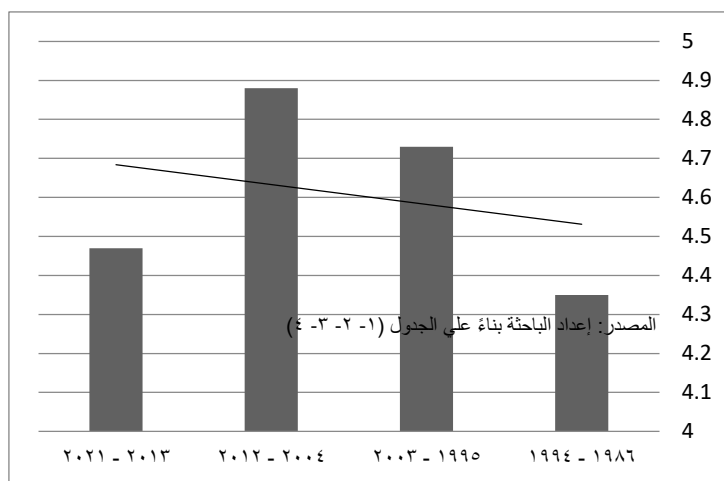
هي أعلى درجة حرارة يتم تسجيلها خلال فترة زمنية معينة، عادةً خلال فترة الظهيرة أو بعد الظهر.  
تُستخدم درجة الحرارة العظمى لتحديد أقصى درجات الحرارة التي يمكن أن تؤثر على الأفراد والبيئة "Michael, 2006,p.112)).

شكل (١٤) مقارنة الأربع مجموعات للمتوسطات السنوية لدرجة الحرارة العظمى (م°) في محطة طبرق  
للفترة بين ١٩٨٦-٢٠٢١ م

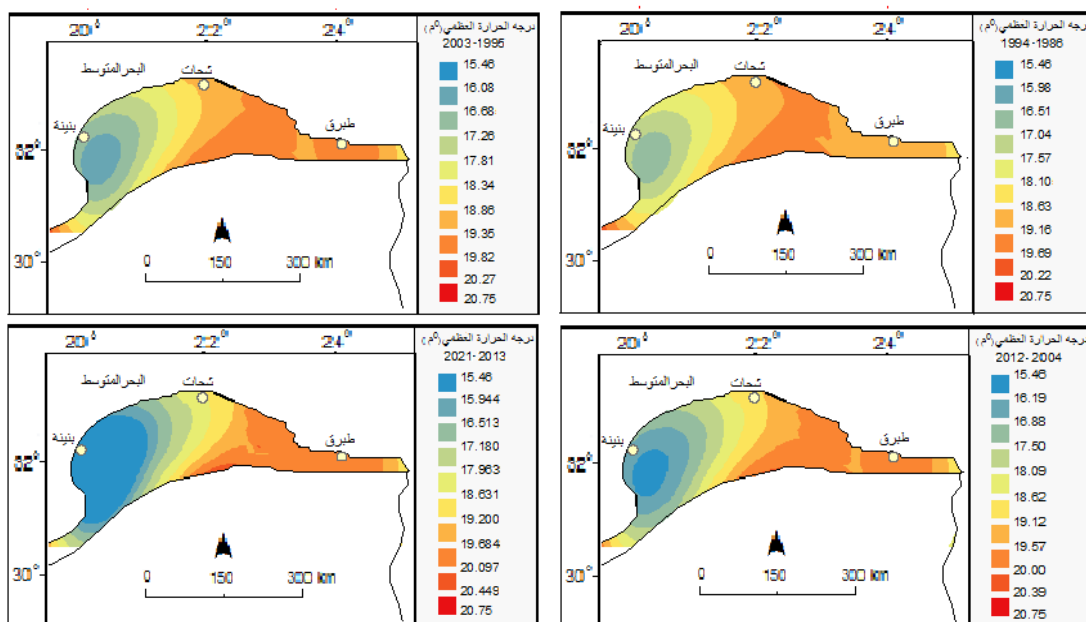


يتبيّن من خلال الشكل (١٤) أن درجات الحرارة العظمى متذبذبة بين ارتفاع وانخفاض مستمر ومن خلال الاتجاه العام يبيّن أنه يضم مسار شبه مستقيم، ومن خلال تحليل الجداول (١)، (٢)، (٣)، (٤) لقيم درجة الحرارة أن أعلى القيم ٦.٠٢ (م°) في عام ١٩٩٠ م في المجموعة الأولى بين ١٩٩٤-١٩٩٦ م بينما انخفضت إلى ٥.٧٦ (م°) في عام ١٩٩٧ م كأعلى قيمة في المجموعة الثانية بين ٢٠٠٣-١٩٩٥ م، ثم سجلت ارتفاع ثانٍ ليصل إلى ٦.٠٦ (م°) في عام ٢٠١١ م كأعلى قيمة في المجموعة الثالثة بين ٢٠١٢-٢٠٠٤ م، ثم نجدها تنخفض من جديد لتصل إلى ٥.٥١ (م°) في عام ٢٠١٦ م كأعلى قيمة في المجموعة الرابعة بين ٢٠٢١-٢٠١٣ م، كما يتبيّن من خلال الشكل (١٥) والذي يوضح قيم المتوسط السنوي للمجموعات الأربع أن أقل القيم ضمن المجموعة الأولى (٤.٣٥ م°) ثم ارتفعت القيم لتسجل أعلىها في المجموعة الثالثة (٤.٨٨ م°) وانخفضت من جديد مع آخر مجموعة لتسجل (٤.٤٧ م°). ومن خلال الخريطة المرفقة شكل رقم (١٦) إن المجموعات الأربع تتدرج قيمها ضمن القيم المتوسطة وإن كان هناك اختلاف بسيط بتغيير القيم مع تقدم السنوات.

شكل ( ١٥ ) مقارنة الأربع مجموعات للمعدل السنوية لدرجة الحرارة العظمى (°م) في محطة طبرق للفترة بين ١٩٨٦-٢٠٢١ م



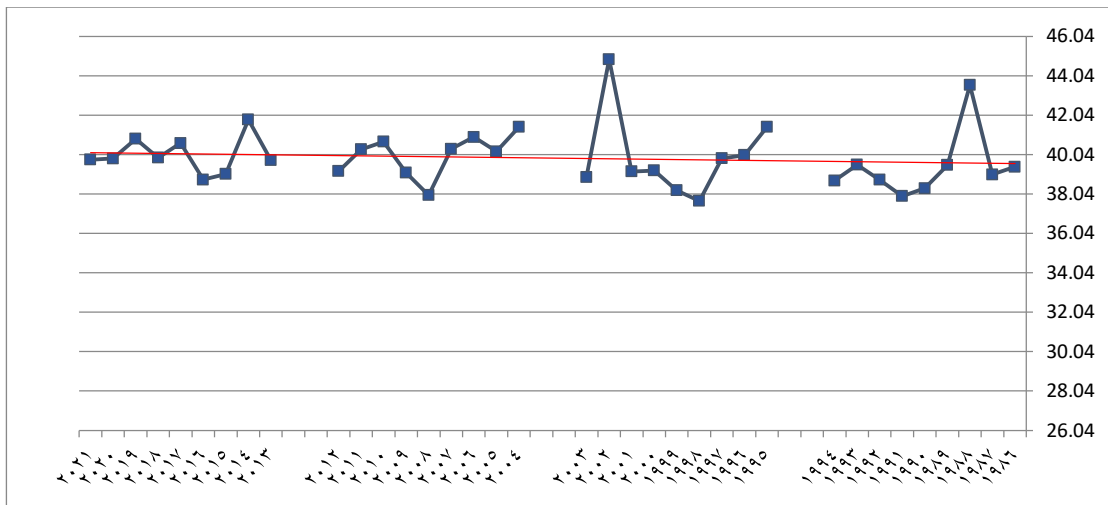
شكل ( ١٦ ) مقارنة الأربع مجموعات للمتوسطات السنوية لدرجة الحرارة العظمى (°م) في محطة طبرق للفترة بين ١٩٨٦-٢٠٢١ م



### درجة الحرارة الصغرى (°م)

هي أدنى درجة حرارة يتم تسجيلها خلال فترة زمنية معينة، عادةً خلال الليل أو في الساعات المبكرة من الصباح. تُستخدم درجة الحرارة الصغرى لتحديد الحد الأدنى من البرودة التي قد تؤثر على الأنشطة البشرية والمحاصيل". ( Michael, 2006,p.112 )

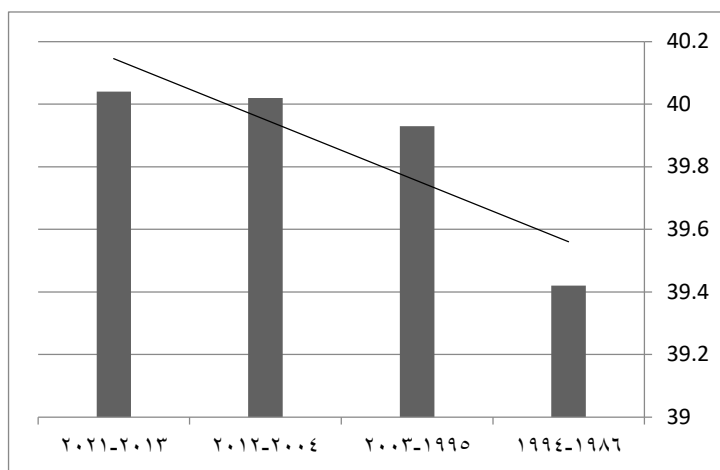
شكل (١٧) مقارنة الأربع مجموعات للمتوسطات السنوية لدرجة الحرارة الصغرى (°م) في محطة طبرق للفترة بين ١٩٨٦-٢٠٢١ م



المصدر: إعداد الباحثة بناءً على الجدول (١-٣-٤)

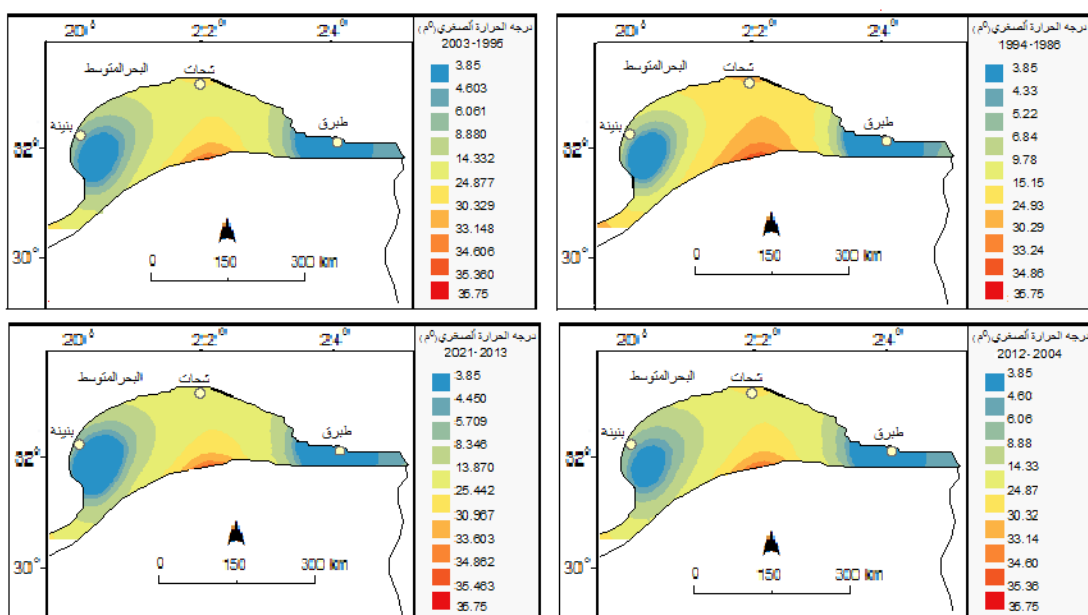
يتبيّن من خلال الشكل (١٧) أن درجات الحرارة الصغرى في ارتفاع بسيط جداً كما يتبيّن من خلال خط الاتجاه العام، ومن خلال تحليل الجداول (١)، (٢)، (٣)، (٤) لقيم درجة الحرارة الصغرى أن أعلى القيمة ٤٣.٥٧ (°م) في عام ١٩٨٨ في المجموعة الأولى بين ١٩٨٦-١٩٩٤ م، وارتفعت إلى ٤٤.٨٨ (°م) في عام ٢٠٠٢ م كأعلى قيمة في المجموعة الثانية بين ١٩٩٥-٢٠٠٣ م، ثم انخفضت لتسجل ٤١.٤٤ (°م) في عام ٢٠٠٤ م في المجموعة الثالثة بين ٢٠٠٤-٢٠١٢ م، وتصل أعلى قيمة إلى ٤١.٨١ (°م) في عام ٢٠١٤ م كأعلى قيمة في المجموعة الرابعة بين ٢٠١٣-٢٠٢١ م، كما يتبيّن من خلال الشكل (١٨) والذي يبيّن المتوسط السنوي لقيم المجموعات الأربع أن أقل القيم في المجموعات ضمن المجموعة الأولى بينما كانت المجموعة الرابعة هي أعلى القيم بين المجموعات ٤٠٠.٤ (°م). ومن خلال الخريطة المرفقة شكل رقم (١٩) إن المجموعات الأربع تتدرج قيمها ضمن القيم المنخفضة.

شكل (١٨) مقارنة الأربع مجموعات للمعدل السنوي لدرجة الحرارة الصغرى (°م) في محطة طبرق للفترة بين ١٩٨٦-٢٠٢١ م



المصدر: إعداد الباحثة بناءً على الجدول (١-٣-٤)

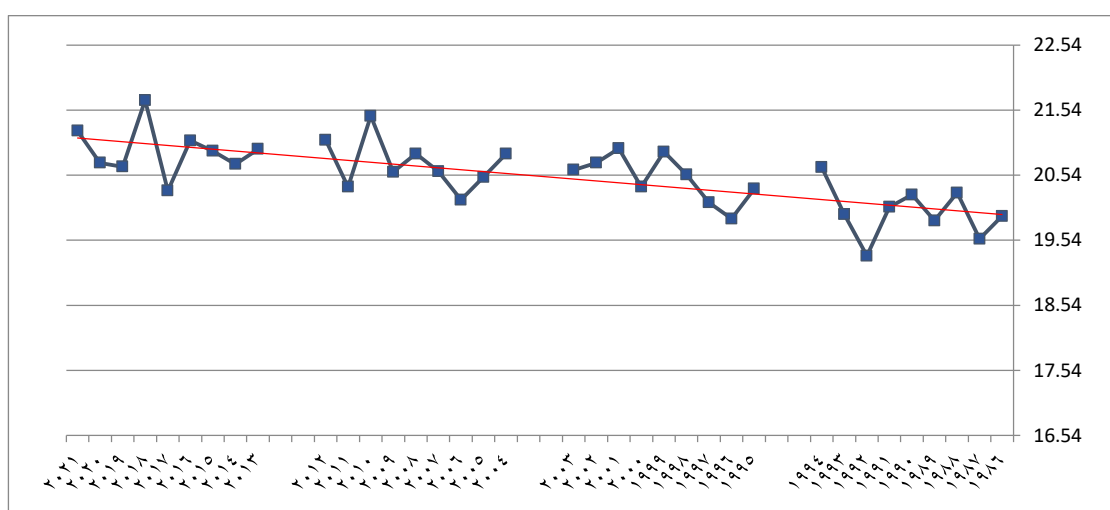
شكل (١٩) مقارنة الأربع مجموعات للمتوسطات لدرجة الحرارة الصغرى (°م) في محطة طبرق للفترة بين ١٩٨٦-٢٠٢١م



#### درجة حرارة سطح الأرض

هي درجة الحرارة التي يتم قياسها على سطح الأرض مباشرة، وتعتبر مؤشراً أساسياً للتغيرات المناخية والبيئية. يتم قياس هذه الحرارة باستخدام أجهزة قياس الحرارة المخصصة لذلك، وهي تعكس التغيرات في الطاقة الحرارية التي يتم انتصاصها أو إصدارها من قبل الأرض (القرني، ٢٠٠٧). وتعتبر درجة حرارة سطح الأرض عاملًا مهمًا في تحديد المناخ المحلي وتوزيع الحرارة على الكوكب، حيث تؤثر على عمليات مثل التبخر، وتهوية الغلاف الجوي، وتغيرات الطقس" (John, ٢٠٠٢، p.45)

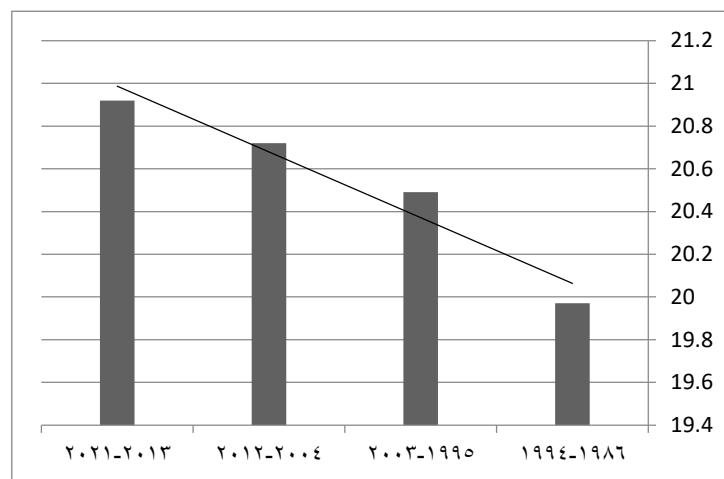
شكل (٢٠) مقارنة الأربع مجموعات السنوية للمتوسطات لدرجة حرارة سطح الأرض في محطة طبرق للفترة بين ١٩٨٦-٢٠٢١م



المصدر: إعداد الباحثة بناءً على الجدول (٤ - ٣ - ١)

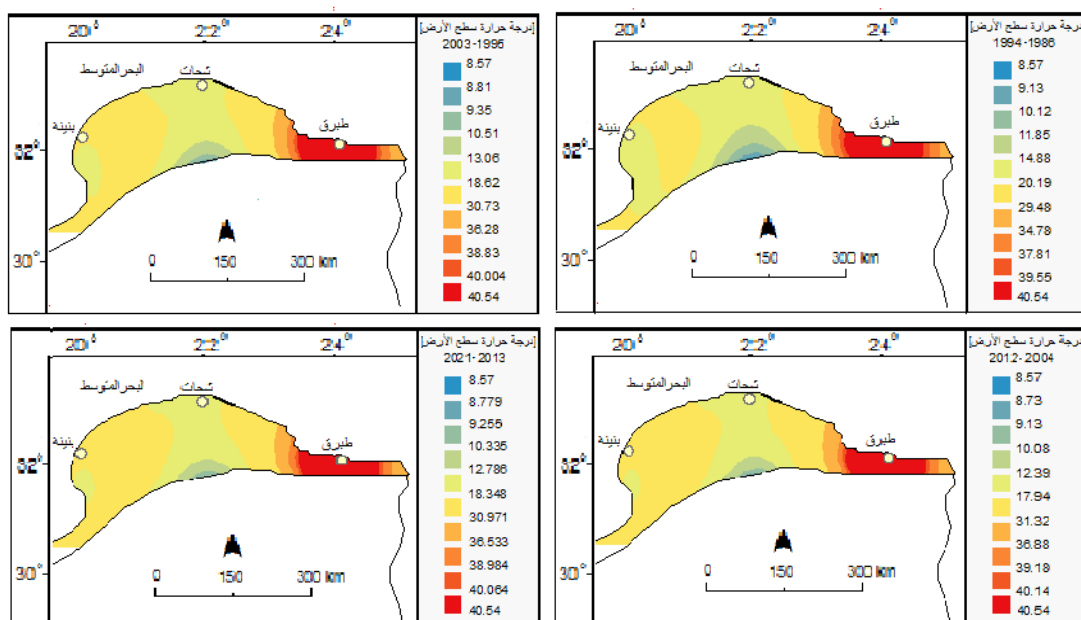
ومن خلال الشكل (٢٠) يتبيّن أن درجة حرارة سطح الأرض في ارتفاع مستمر ومن خلال الجداول (١)، (٢)، (٣)، (٤) نجد أن أعلى درجة حرارة سجلت في المجموعة الأولى (٢٠.٦٦ م) عام ١٩٩٤ في المجموعة بين ١٩٨٦-١٩٩٤ م بينما أعلى درجة حرارة في المجموعة الثانية (٢٠.٩٥ م) عام ٢٠٠١ م بين ١٩٩٥-٢٠٠٣ م، هذا وكانت أعلى القيم في المجموعة الثالثة (٢١.٤٥ م) عام ٢٠١٠ م في الفترة بين ٢٠١٢-٢٠٠٤ م في حين وصلت أعلىها بين المجموعات الأربع (٢١.٦٩ م) عام ٢٠١٨ م بين ٢٠١٣-٢٠٢١ م وهذا يبيّن أن القيم كانت منخفضة ثم ارتفعت كما يتبيّن من الشكل (٢١)، بينما سجلت أقل القيم (١٩.٣ م) عام ١٩٩٢ م ضمن المجموعة الأولى بين ١٩٨٦-١٩٩٤ م. ومن خلال الخريطة المرفقة شكل رقم (٢١) إن المجموعات الأربع تتدرج قيمها ضمن القيم المرتفعة.

شكل (٢١) مقارنة الأربع مجموعات للمعدل السنوية لدرجة حرارة سطح الأرض في محطة طبرق للفترة بين ١٩٨٦-٢٠٢١ م



المصدر: إعداد الباحثة بناءً على الجدول (١-٣-٤)

شكل (٢٢) مقارنة الأربع مجموعات للمتوسطات لدرجة حرارة سطح الأرض في محطة طبرق للفترة بين ١٩٨٦-٢٠٢١ م



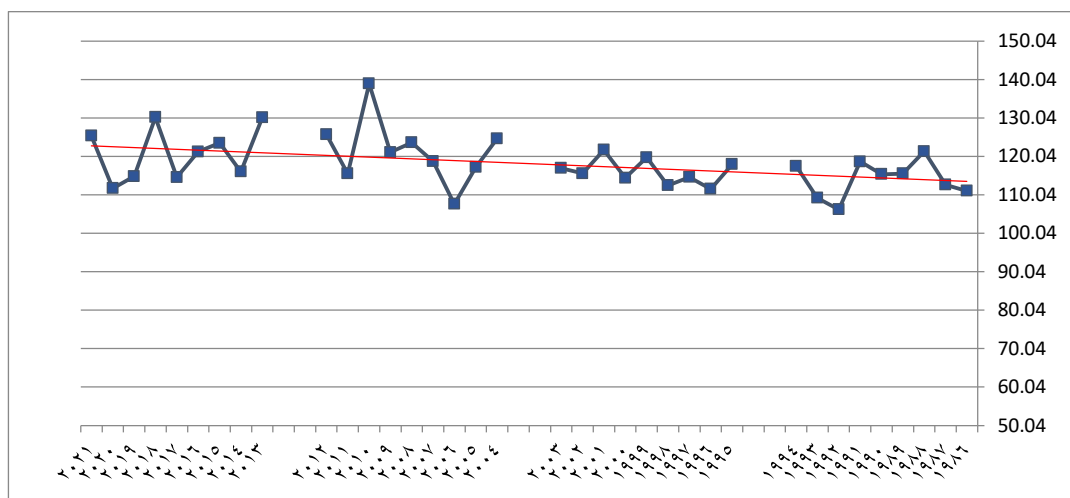
## البخر نتح الممکن (ملم)

البخر النتح هو عملية تجمع بين البخر والنتح، حيث يشير إلى:

- **البخر**: هو عملية تحول الماء من الحالة السائلة إلى الحالة الغازية (بخار الماء) عند تبخره من الأسطح المائية مثل البحيرات والأنهار والمحيطات.
- **النتح**: هو عملية خروج بخار الماء من النباتات إلى الغلاف الجوي عبر التغور في أوراق النباتات. (السعدي، 2010 . ص98)

"البخر النتح هو عملية دمج تبخر الماء من سطح التربة مع النتح النباتات، منه هي العملية التي يتم فيها نقل الماء من النباتات والتربة والماء إلى الغلاف الجوي على شكل بخار. هذه العملية تلعب دوراً حيوياً في دورة المياه البيئية لأنها تؤثر على توزيع الرطوبة وتوازن الطاقة في البيئة" David, 1992,p. 62. )

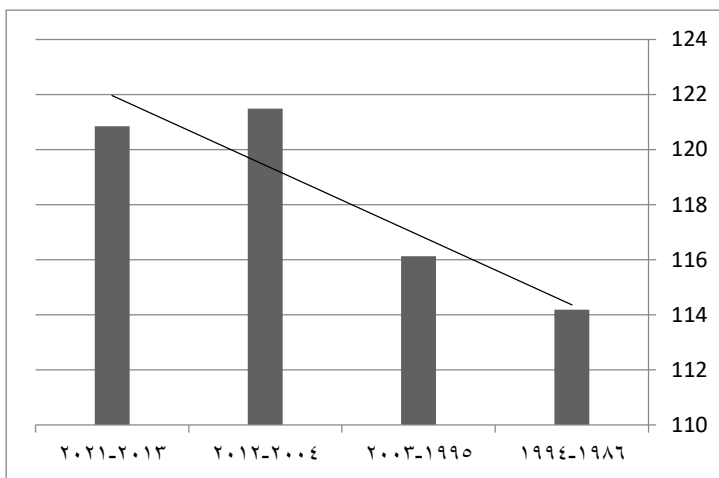
شكل ( ٢٣ ) مقارنة الأربع مجموعات للمتوسطات السنوية للبخر نتح الممکن (ملم) في محطة طبرق للفترة بين ١٩٨٦-٢٠٢١ م



المصدر: إعداد الباحثة بناءً على الجدول (١ - ٣ - ٤)

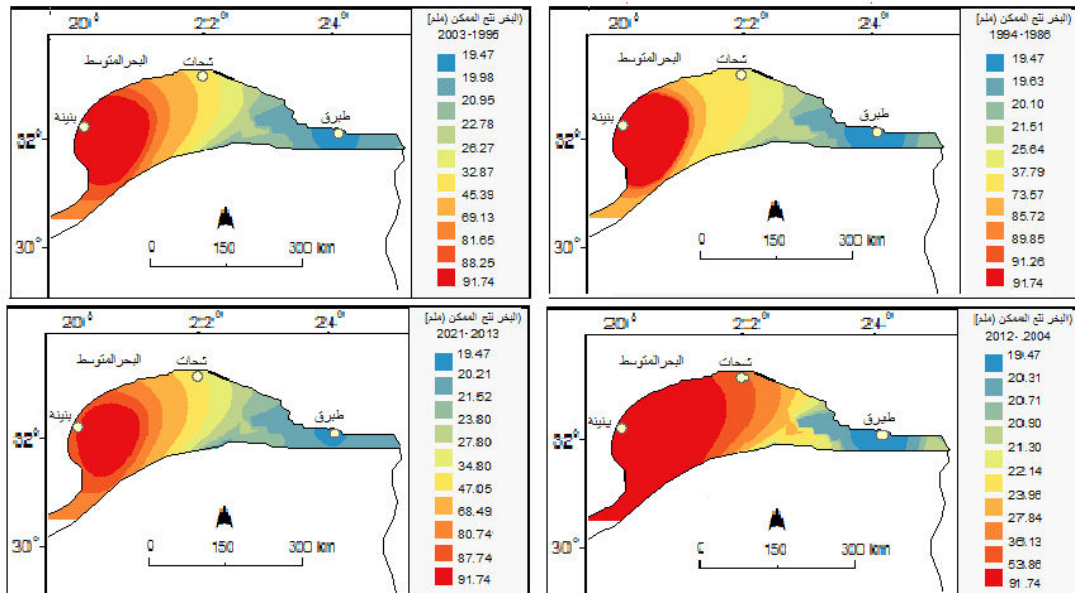
يتبيّن من خلال الجداول (١)، (٢)، (٣)، (٤) والشكل المرفق (٢٣) أن أعلى القيم في الفترة الأولى بين ١٩٩٤-١٩٨٦ م كانت ١٢١.٣٤ (ملم) إذ سُجلت في عام ١٩٨٨، ثم سُجلت القيمة ١٢١.٧١ (ملم) عام ٢٠٠١ م وهي أعلى قيمة في الفترة الثانية بين ١٩٩٥-٢٠٠٣ م، هذا وترتفع القيمة إلى ١٣٨.٩٦ (ملم) كأعلى قيمة عام ٢٠١٠ م في الفترة الثالثة بين ٢٠١٢-٢٠٠٤ م وهذه القيمة هي الأعلى بين الأربع مقارنات السنوية، ثم تهبط من جديد لتسجل القيمة ١٣٠.٢ (ملم) كأعلى قيمة في المجموعة الرابعة بين عامي ٢٠١٣-٢٠٢١ م، ومنه يتبيّن أن القيم كانت منخفضة ثم ارتفعت فقد سُجلت أقل القيم ١٠٦.٢٤ (ملم) عام ٢٠١٩ م ضمن المجموعة الثانية إذ يتبيّن من خط الاتجاه العام في الشكل (٢٣) انه يأخذ مسار مرتفع ومن خلال المعدل السنوي في الشكل (٢٤) أن خط الاتجاه العام في ارتفاع ملحوظ. ومن خلال الخريطة المرفقة شكل رقم (٢٥) إن المجموعات الأربع تتدرج قيمها ضمن القيم المنخفضة.

شكل (٢٤) مقارنة الأربع مجموعات للمعدل السنوية للبحر نتح الممکن (ملم) في محطة طبرق للفترة بين ١٩٨٦-٢٠٢١م



المصدر: إعداد الباحثة بناء على الجدول (٤-٣-١)

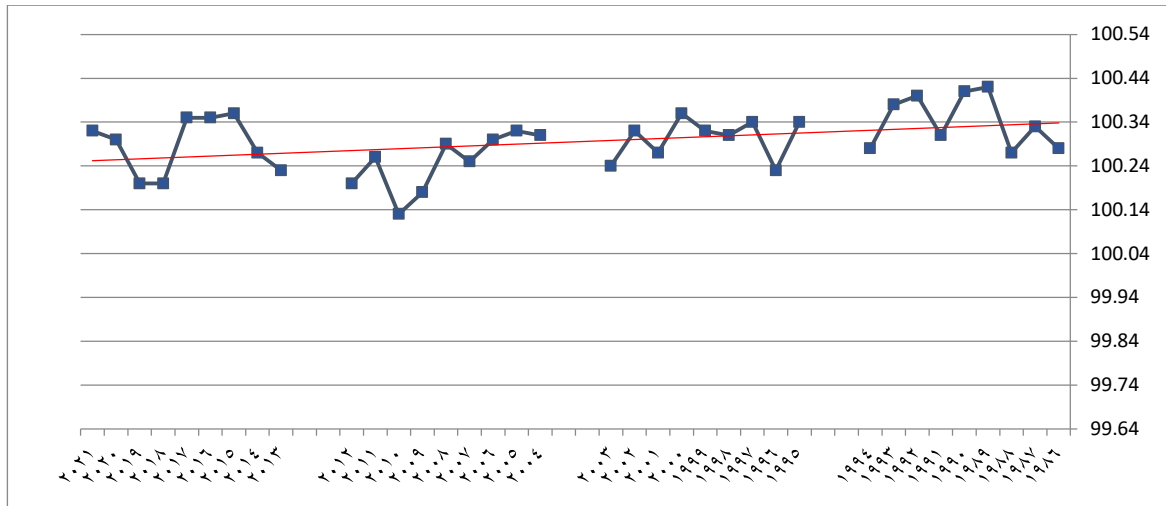
شكل (٢٥) مقارنة الأربع مجموعات للمتوسطات السنوية للبحر نتح الممکن (ملم) في محطة طبرق للفترة بين ١٩٨٦-٢٠٢١م



### الضغط الجوي عند مستوى سطح البحر (مليبار)

الضغط الجوي عند مستوى سطح البحر هو الضغط الذي يعادل وزن عمود من الهواء يمتد من مستوى سطح البحر إلى الأعلى حتى الطبقة الخارجية للغلاف الجوي (John, 2007, p. 53) وهو القوة التي يمارسها الهواء على وحدة المساحة بسبب وزن عمود الهواء فوقها. يُقاس عادةً بوحدات الميليمتر من الزئبق (مم زئبق) أو الهاكتوباسكال(hPa) ، ويعتمد على ارتفاع المكان عن سطح البحر وحالة الطقس (القرني، ٢٠٠٧، ص ٤٥).

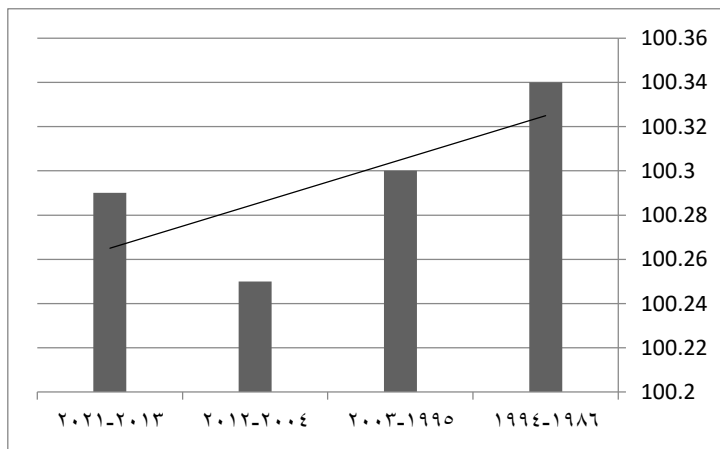
شكل (٢٦) مقارنة الأربع مجموعات للمتوسطات السنوية للضغط الجوي عند مستوى سطح البحر (ملييار) في محطة طبرق للفترة بين ١٩٨٦-٢٠٢١م



المصدر: إعداد الباحثة بناءً على الجدول (١-٣-٤)

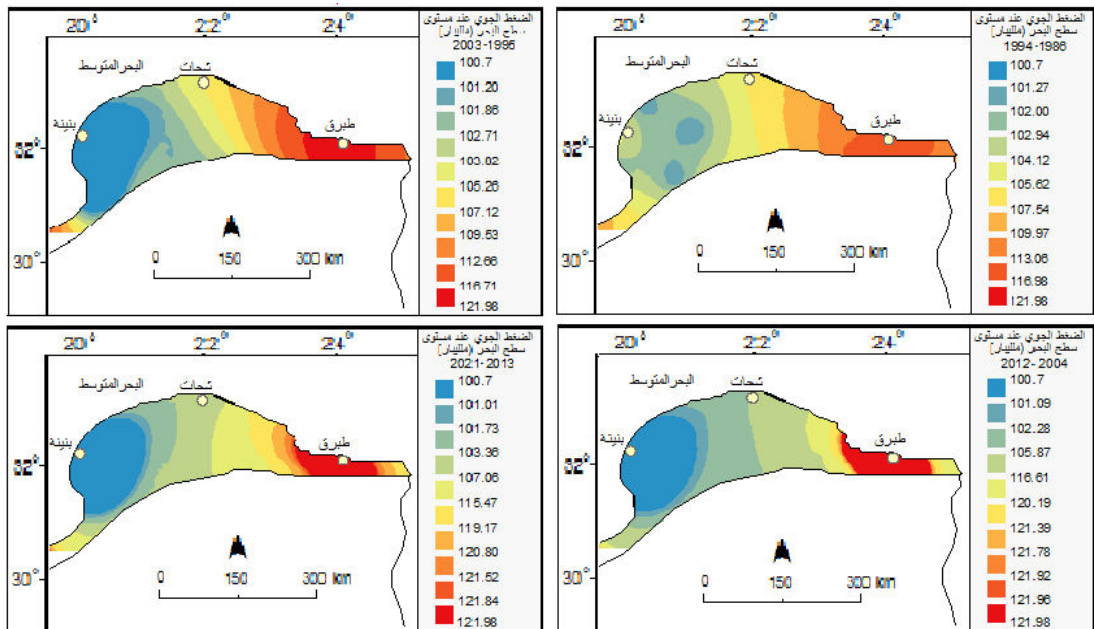
يتبيّن من خلال الجداول (١)، (٢)، (٣)، (٤) والشكل المرفق (٢٦) أن أعلى القيم ١٠٠.٤٢ (ملييار) إذ سُجلت في عام ١٩٨٩م في الفترة الأولى بين ١٩٩٤-١٩٨٦م بينما نجد أعلى قيمة وصلت إلى ١٠٠.٣٦ (ملييار) عام ٢٠٠٠م في الفترة الثانية بين ١٩٩٥-٢٠٠٣م هذا وسُجلت القيمة ١٠٠.٣٢ (ملييار) كأعلى قيمة عام ٢٠٠٥م في الفترة الثالثة بين ٢٠١٢-٢٠٠٤م بينما كانت القيمة ١٠٠.٣٦ (ملييار) هي أعلى قيمة عام ٢٠١٥م ضمن الفترة الرابعة ٢٠١٣-٢٠٢١م، وهذا يبيّن أن حدود أعلى القيم في أربع السنوات المقارنة هي ١٠٠.٤٢ (ملييار) ضمن المجموعة الأولى، بينما أقل القيم في الأربع مقارنات ١٠٠.١٣ (ملييار) وهذه القيمة كانت ضمن المجموعة الثالثة، ومنه نجد أن القيم كانت مرتفعة ثم أخذت في الهبوط كما يبيّن ذلك خط الاتجاه العام في الشكل (٢٦) ويُتوضّح ذلك بوضوح من قيم المعدل السنوي في الشكل (٢٧). ومن خلال الخريطة المرفقة شكل رقم (٢٨) إن المجموعات الأربع تتدرج قيمها ضمن القيم المرتفعة.

شكل (٢٧) مقارنة الأربع مجموعات للمعدل السنوي للضغط الجوي عند مستوى سطح البحر (ملييار) في محطة طبرق للفترة بين ١٩٨٦-٢٠٢١م



المصدر: إعداد الباحثة بناءً على الجدول (١-٣-٤)

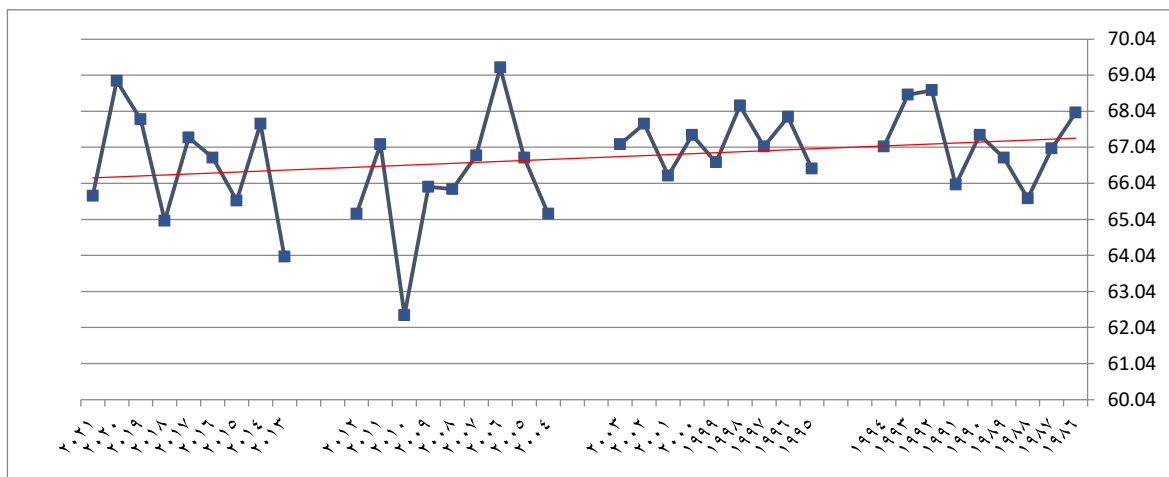
شكل (٢٨) مقارنة الأربع مجموعات للمتوسطات السنوية للضغط الجوي عند مستوى سطح البحر (مليبار) في محطة طبرق للفترة بين ١٩٨٦-٢٠٢١ م



### الرطوبة النسبية (%)

الرطوبة النسبية هي مقياس لمدى تشبّع الهواء ببخار الماء مقارنةً بأقصى كمية من بخار الماء يمكن أن يحتفظ بها الهواء عند نفس درجة الحرارة. تُعبر الرطوبة النسبية كنسبة مئوية، حيث تشير ١٠٠% إلى أن الهواء قد وصل إلى حالة التشبع بالكامل، بينما تشير قيم أقل إلى أن الهواء يحتوي على كمية أقل من بخار الماء بالنسبة إلى ما يمكنه استيعابه" (Michael, 2006,p. 78).

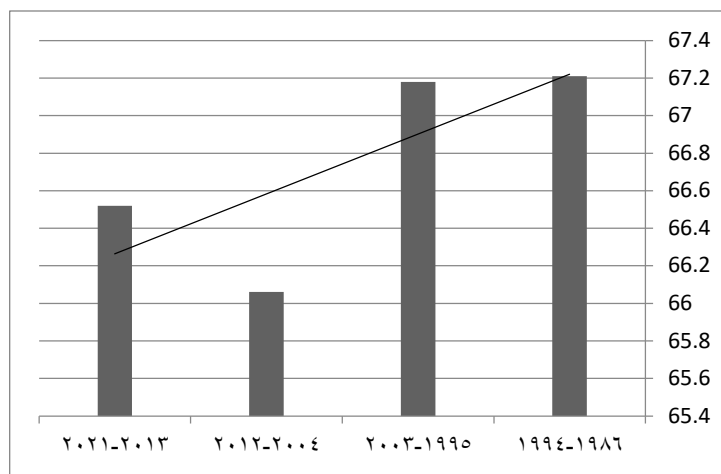
شكل (٢٩) مقارنة الأربع مجموعات للمتوسطات السنوية للرطوبة النسبية (%) في محطة طبرق للفترة بين ١٩٨٦-٢٠٢١ م



يتبيّن من خلال الشكل (٢٩) أن الرطوبة النسبية في انخفاض كما يتبيّن من خلال خط الاتجاه العام، ومن خلال تحليل الجداول (١)، (٢)، (٣)، (٤) لقيم الرطوبة النسبية أن أعلى القيم ٦٨.٦٢ (%) في عام

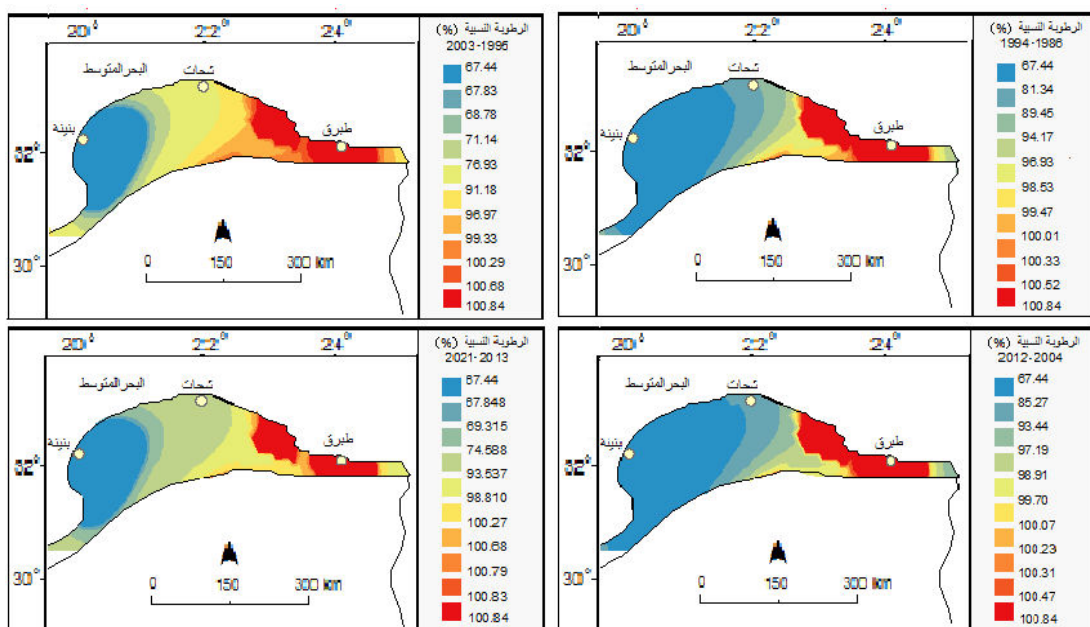
كأعلى قيمة في المجموعة الأولى بين ١٩٩٤-١٩٨٦ م بينما انخفضت إلى ٦٨.١٩ (%) في عام ١٩٩٢ م كأعلى قيمة في المجموعة الثانية بين ١٩٩٥-٢٠٠٣ م، ثم ارتفعت لتسجل أعلى قيمة في كل المجموعات ٦٩.٢٥ (%) في عام ٢٠٠٦ م وكأعلى قيمة ضمن المجموعة الثالثة بين ٢٠١٢-٢٠٠٤ م، ثم نجدها تنخفض لتصل إلى ٦٨.٨٨ (%) في عام ٢٠٢٠ م كأعلى قيمة في المجموعة الرابعة بين ٢٠٢١-٢٠١٣ م وهذا يتبيّن من خلال الشكل (٣٠) إذ تمثل أقل القيم في المجموعات ضمن المجموعة الثالثة لتسجل ٦٢.٣٨ (%) عام ٢٠١٠ م. ومن خلال الخريطة المرفقة شكل رقم (٤) إن المجموعات الأربع تتدرج قيمها ضمن القيم المرتفعة.

شكل (٣٠) مقارنة الأربع مجموعات للمعدل السنوية للرطوبة النسبية (%) في محطة طبرق للفترة بين ١٩٨٦-٢٠٢١ م



المصدر: إعداد الباحثة بناءً على الجدول (٤-٣-١)

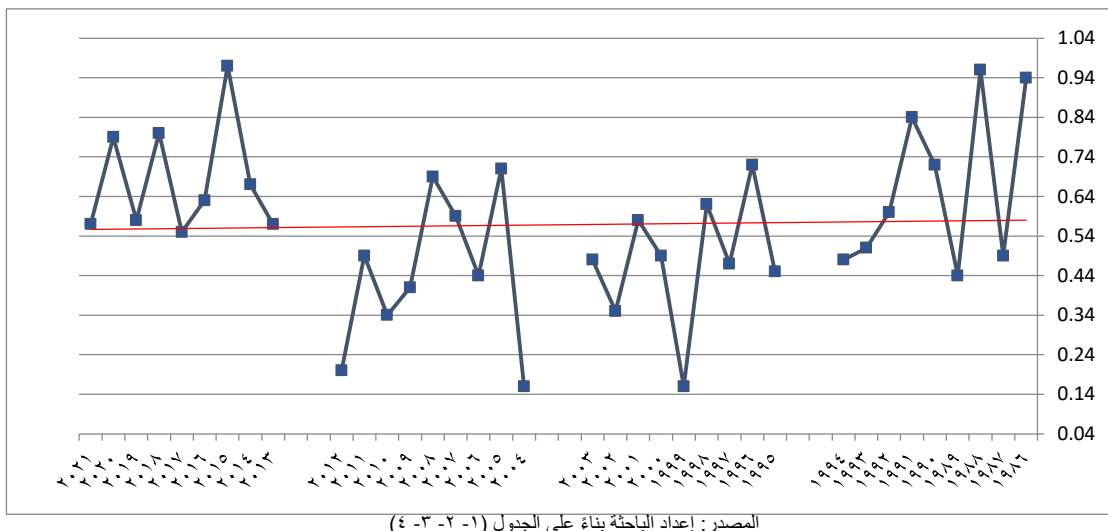
شكل (٣١) مقارنة الأربع مجموعات للمتوسطات السنوية للرطوبة النسبية (%) في محطة طبرق للفترة بين ١٩٨٦-٢٠٢١ م



## كمية المطر (ملم)

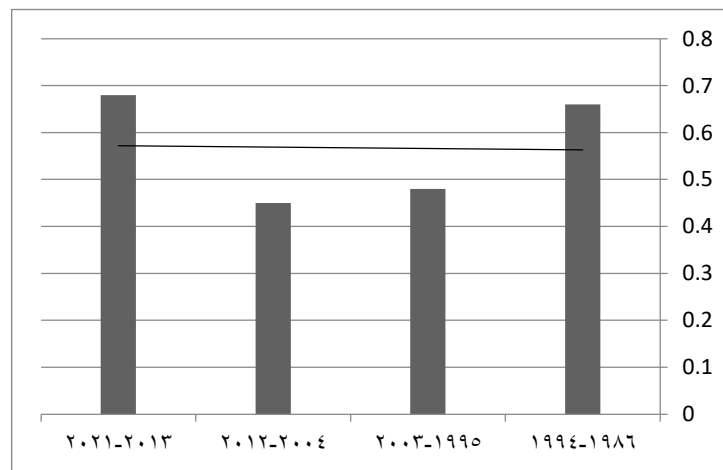
"كمية المطر هي مقياس لمقدار الماء السائل الذي يسقط من السماء على سطح الأرض خلال فترة زمنية معينة. يُقاس عادةً بوحدات العمق، مثل المليمترات أو البوصات، ويعبر عن مدى هطول الأمطار. تُستخدم أجهزة قياس المطر مثل مقاييس الأمطار (الترمورترات) لجمع وتسجيل كمية المطر". (John, 2003,p.122).

شكل (٣٢) مقارنة الأربع مجموعات للمتوسطات السنوية لكمية المطر (ملم)  
في محطة طبرق للفترة بين ١٩٨٦-٢٠٢١ م



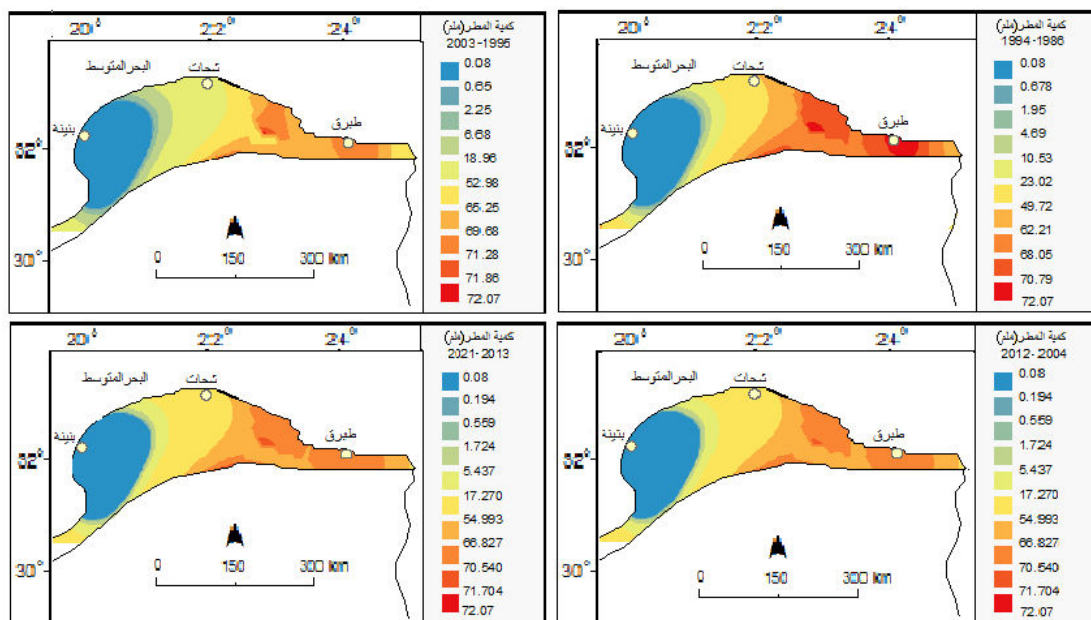
يتبيّن من خلال الشكل (٣٢) أن كمية المطر في انخفاض كما يتبيّن من خلال خط الاتجاه العام، ومن خلال تحليل الجداول (١)، (٢)، (٣)، (٤) لقيم كمية المطر أن أعلى القيم ٠.٩٦ (ملم) في عام ١٩٨٨ في المجموعة الأولى بين عامي ١٩٩٤-١٩٨٦ م بينما انخفضت إلى ٠.٧٢ (ملم) في عام ١٩٩٦ م كأعلى قيمة في المجموعة الثانية بين عامي ١٩٩٥-٢٠٠٣ م، واستمرت في الانخفاض لتسجل ٠.٧١ (ملم) في عام ٢٠٠٥ م كأعلى قيمة بين المجموعة الثالثة بين عامي ٢٠٠٤-٢٠١٢ م، ثم نجدها ترتفع لتصل إلى ٠.٩٧ (ملم) في عام ٢٠١٥ م كأعلى قيمة في المجموعة الرابعة بين عامي ٢٠١٣-٢٠٢١ م وهذا يتبيّن من خلال الشكل (٣٣) إذ تمثل أقل القيم في المجموعات ضمن المجموعة الثانية والثالثة لتسجل ٠.٦٦ (ملم) عام ١٩٩٩ م و ٢٠٠٤ م. ومن خلال الخريطة المرفقة شكل رقم (٣٤) إن المجموعات الأربع تتدرج قيمها ضمن القيم المرتفعة والمتوسطة.

شكل (٣٣) مقارنة الأربع مجموعات للمعدل السنوية لكمية المطر(ملم)  
في محطة طبرق للفترة بين ١٩٨٦-٢٠٢١م



المصدر: إعداد الباحثة بناء على الجدول (٤ - ٣ - ٢ - ١)

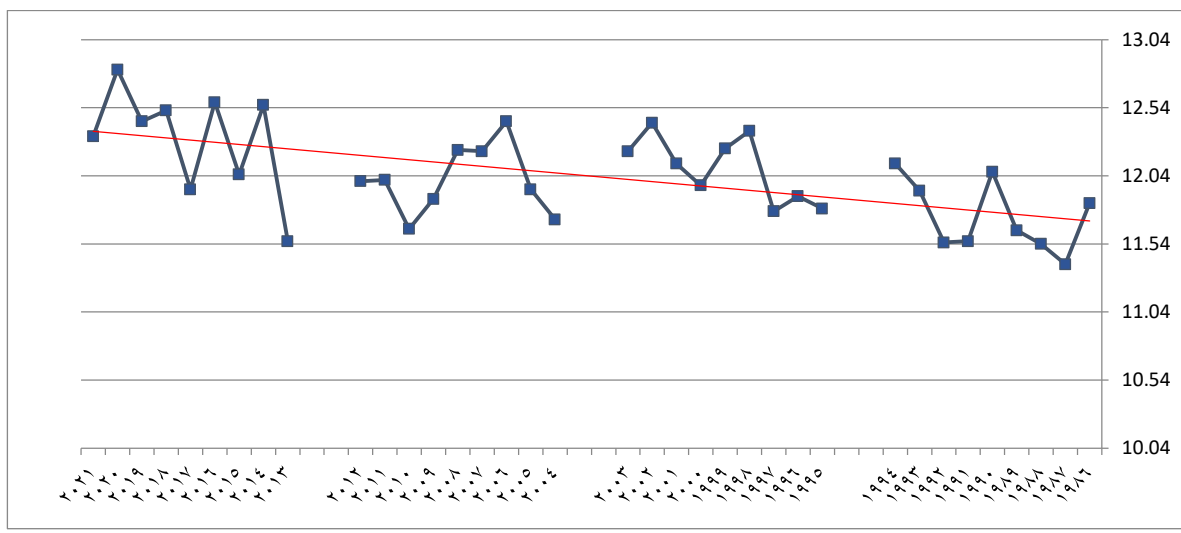
شكل (٣٤) مقارنة الأربع مجموعات للمتوسطات السنوية لكمية المطر(ملم) في محطة طبرق  
للفترة بين ١٩٨٦-٢٠٢١م



المصدر: إعداد الباحثة بناء على الجدول (٤ - ٣ - ٢ - ١)

"نقطة الندى هي درجة الحرارة التي يجب أن يبرد عندها الهواء ليصل إلى حالة التشبع (100% رطوبة نسبية)، حيث يبدأ بخار الماء في التكاثف إلى قطرات ماء. عند هذه النقطة، يصبح الهواء متشبعاً تماماً بالبخار ولا يستطيع احتفاظ المزيد منه، مما يؤدي إلى تكوين الندى أو الضباب إذا كانت الظروف مناسبة" (James, 2005,p. 95).

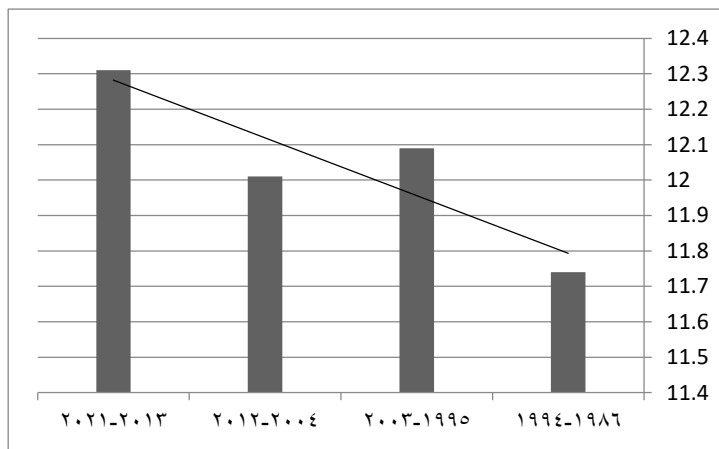
شكل (٣٥) مقارنة الأربع مجموعات للمتوسطات السنوية لنقطة الندى في محطة طبرق للفترة بين ١٩٨٦-٢٠٢١م



المصدر: إعداد الباحثة بناءً على الجدول (٤ - ٣ - ١)

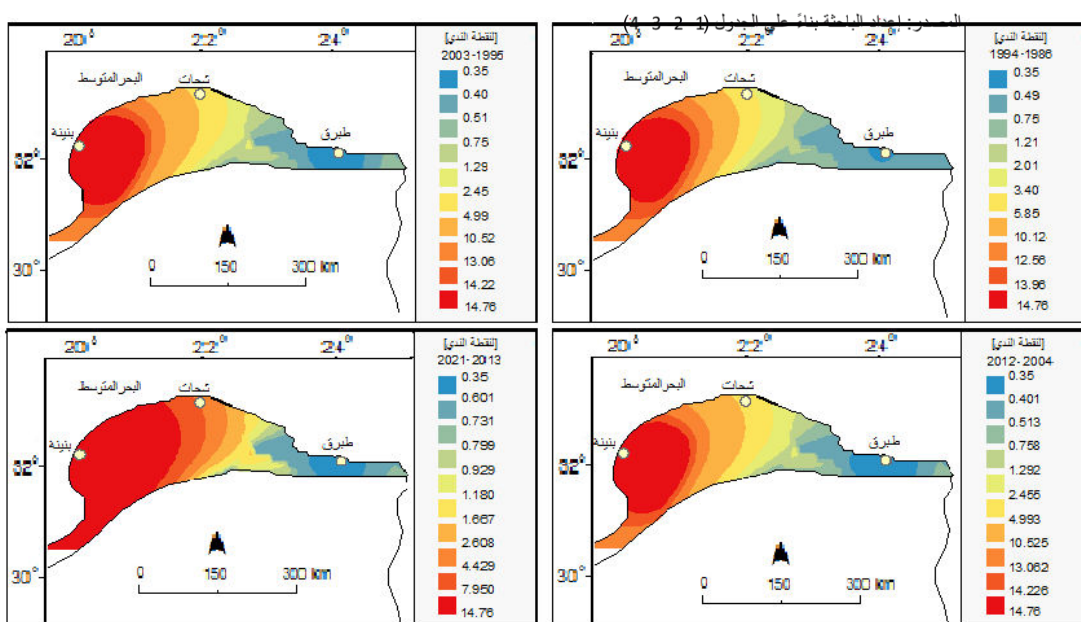
يتبيّن من خلال الجداول (١)، (٢)، (٣)، (٤) والشكل المرفق (٣٥) أن أعلى القيم ١٢.١٣ إذ سجلت في عام ١٩٩٤م في الفترة الأولى بين ١٩٨٦-١٩٩٤م بينما نجد أعلى قيمة وصلت إلى ١٢.٤٣ عام ٢٠٠٢م في الفترة الثانية بين ١٩٩٥-٢٠٠٣م هذا وسجلت القيمة ١٢.٤٤ كأعلى قيمة عام ٢٠٠٦م في الفترة الثالثة بين ٢٠٠٤-٢٠١٢م بينما كانت القيمة ١٢.٨٢ عام ٢٠٢٠م ضمن الفترة الرابعة ٢٠١٣-٢٠٢١م وهذا يبيّن القيم أن هذه القيمة هي حدود أعلى في أربع مجموع السنوات المقارنة، بينما أفل القيم في المقارنات الأربع ١١.٣٩ وهذه القيمة كانت ضمن المجموعة الأولى عام ١٩٨٧م، ومنه نجد أن القيم كانت منخفضة ثم آخذت في الارتفاع حتى وصلت أعلىها ضمن المجموعة الرابعة كما يبيّن ذلك خط الاتجاه العام في الشكل (٣٥) ويتبّع ذلك بوضوح من قيم المعدل السنوي في الشكل (٣٦). ومن خلال الخريطة المرفقة شكل رقم (٣٧) إن المجموعات الأربع تتدرج قيمها ضمن القيم المنخفضة.

شكل (٣٦) مقارنة الأربع مجموعات للمعدل السنوية لنقطة الندى في محطة طبرق للفترة بين ١٩٨٦-٢٠٢١م



المصدر: إعداد الباحثة بناءً على الجدول (٤-٢-١)

شكل (٣٧) مقارنة الأربع مجموعات للمتوسطات السنوية لنقطة الندى في محطة طبرق للفترة بين ١٩٨٦-٢٠٢١م

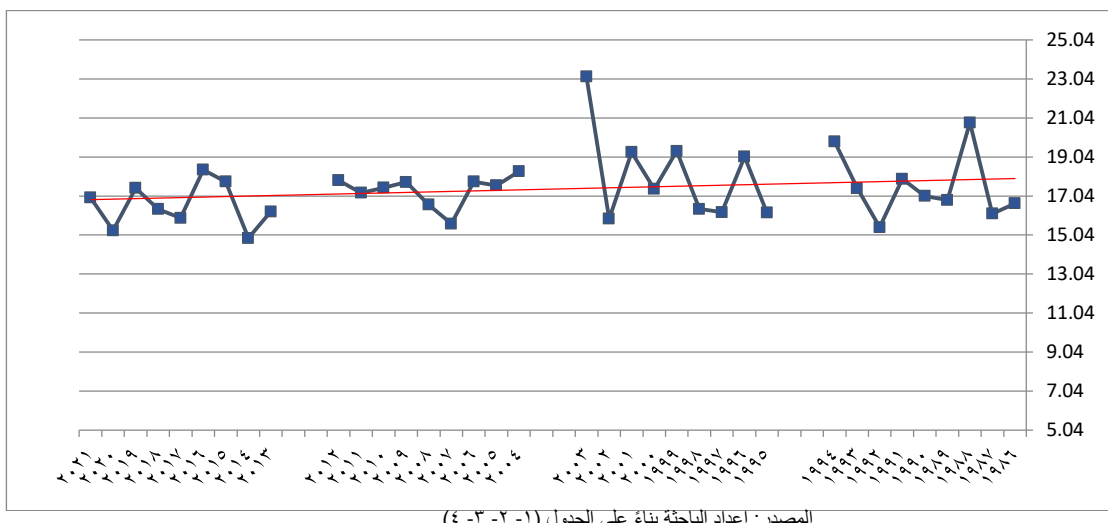


## سرعة الرياح (عقدة)

"سرعة الرياح هي معدل حركة الهواء في اتجاه معين، وعادة ما تُقاس بوحدات مثل الكيلومترات في الساعة (km/h) أو العقد (knots) أو الأميال في الساعة (mph). تُقاس سرعة الرياح باستخدام أجهزة قياس تعرف باسم أنيمومترات. سرعة الرياح تلعب دوراً مهماً في تحديد ظروف الطقس وتؤثر على جوانب مختلفة من البيئة، بما في ذلك درجات الحرارة، والملمس الشعري، والتلو (John 1999, p. 142)." ."

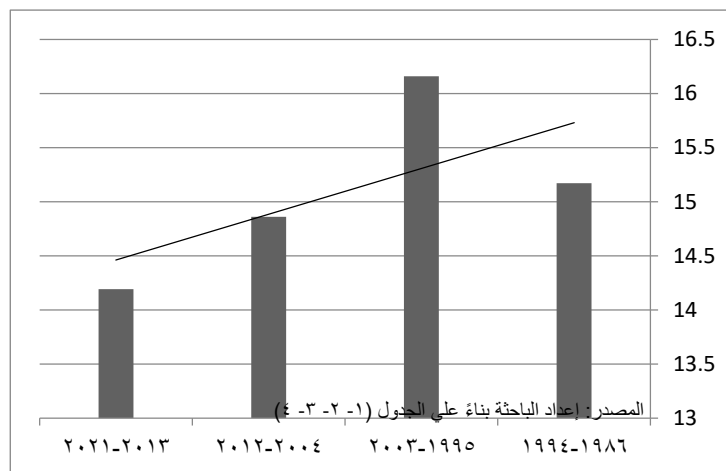
سرعة الرياح : هي معدل حركة الهواء في نقطة معينة خلال فترة زمنية محددة. وتعبر عن سرعة تدفق الهواء على سطح الأرض. تؤثر سرعة الرياح على مختلف جوانب الطقس والمناخ، بما في ذلك درجة الحرارة والإحساس بالبرودة والدفء. (القرني، ٢٠٠٧م. ص ٨٩)

شكل (٣٨) مقارنة الأربع مجموعات للمتوسطات السنوية لسرعة الرياح (عقدة)  
في محطة طبرق للفترة بين ١٩٨٦-٢٠٢١م

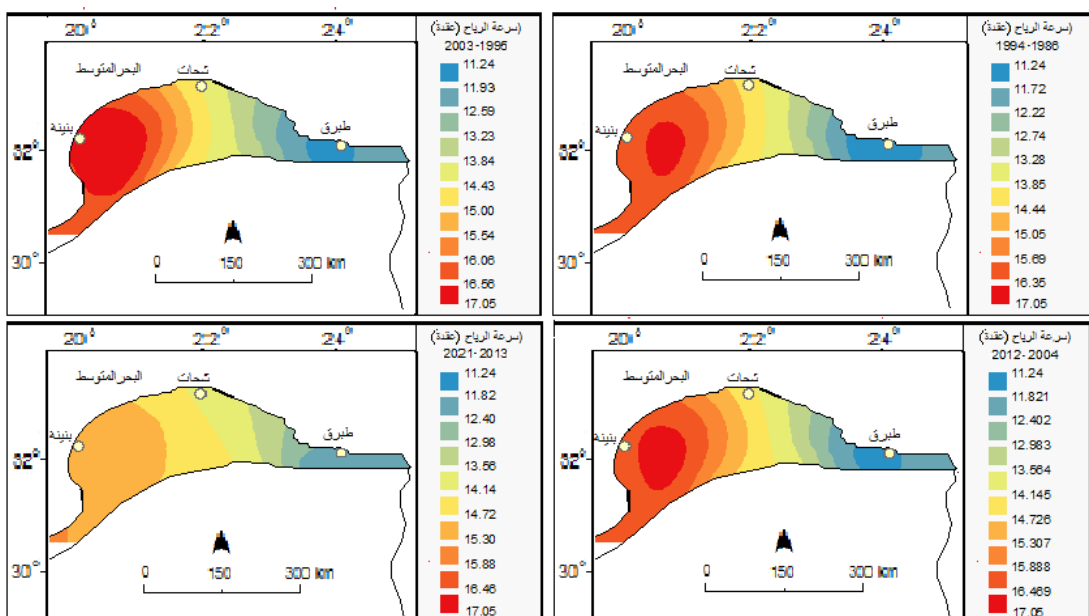


يتبيّن من خلال الجداول (١)، (٢)، (٣)، (٤) والشكل المرفق (٣٨) أن أعلى القيم ١٧.٢٢ (عقدة) اذ سجلت في عام ١٩٨٨م في الفترة الأولى بين ١٩٩٤-١٩٨٦م بينما نجد أعلى قيمة وصلت إلى ١٨.٨ (عقدة) عام ١٩٩٦م في الفترة الثانية بين ١٩٩٥-٢٠٠٣م هذا وسجلت القيمة ١٧.٣٨ (عقدة) كأعلى قيمة عام ٢٠٠٤م في الفترة الثالثة بين ٢٠١٢-٢٠٠٤م بينما كانت القيمة ١٥.٤٩ (عقدة) عام ٢٠١٨م ضمن الفترة الرابعة ٢٠١٣-٢٠٢١م، يتبيّن من ذلك ان القيمة ١٨.٨ (عقدة) هي حدود أعلى القيم في أربع مجموع السنوات المقارنة وهي ضمن المجموعة الثانية، بينما اقل القيم في الأربع مقارنات ١٢.٥٩ (عقدة) وهذه القيمة كانت ضمن المجموعة الثالثة عام ٢٠٠٧م، ومنه نجد أن القيم كانت مرتفعة ثم آخذت في الانخفاض كما يتبيّن من خط الاتجاه العام في الشكل (٣٨) ومن خلال المعدل السنوي للمجموعات الأربع شكل (٣٩) نجد ان القيم كانت منخفضة ثم ارتفعت لتصل أعلىها ضمن المجموعة الثانية ثم بدأت في الهبوط مرة ثانية حتى سجلت أدنى قيمها في المجموعة الرابعة. ومن خلال الخريطة المرفقة شكل رقم (٤٠) إن المجموعات الأربع تتدرج قيمها ضمن القيم المنخفضة.

شكل (٣٩) مقارنة الأربع مجموعات للمعدل السنوية لسرعة الرياح (عقدة) في محطة طبرق للفترة بين ١٩٨٦-٢٠٢١م



شكل (٤٠) مقارنة الأربع مجموعات للمتوسطات السنوية لسرعة الرياح (عقدة) في محطة طبرق للفترة بين ١٩٨٦-٢٠٢١م



## النتائج :

- الإشعاع الشمسي الكلي يضم أعلى القيم ٦٠٠ في المجموعة الثانية والثالثة والرابعة، وأقل القيم ٣٠٠ في المجموعة الأولى والثانية، أعلى مدي سنوي ٣٠٠ في المجموعة الثانية ، علاقة الارتباط موجبة طردية في المجموعات الثلاث فيما عدا المجموعة الأولى سالبة عكسية، الانحراف المعياري ضعيف في الأربع مجموعات
- كل مؤشر نقاوة تشميس السماء تضم أعلى القيم ٦٦٠ عام ١٩٩٩م في المجموعة الثانية، وأقل القيم ٥٩٠ في أغلب سنوات المجموعة الثالثة وضمن ٢٠١٥-٢٠١٩م من المجموعة الرابعة،

أعلى مدي سنوي ٠٠٦ في المجموعة الثانية، علاقة الارتباط موجبة طردية في الثلاث مجموعات فيما عدا المجموعة الثانية سالبة عكسية، الانحراف المعياري ضعيف في المجموعات الأربع.

٣. قيم مقدار السحب تضم أعلى القيم ٥٢.٧٧ عام ١٩٨٧م في المجموعة الأولى بين ١٩٨٦-١٩٩٤، وأقل القيم ٣٠.٢٣ عام ١٩٩٩م في المجموعة الثانية بين ١٩٩٥-٢٠٠٣م، أعلى مدي سنوي ٢٠.٤٣ في المجموعة الأولى بين ١٩٨٦-١٩٩٤م، علاقة الارتباط موجبة طردية في المجموعة الرابعة وبباقي المجموعات سالبة عكسية، الانحراف المعياري متوسط في المجموعة الأولى بينما كان كبير في باقي المجموعات.
٤. درجة الحرارة تضم أعلى القيم ٢٠٠٤٦ (م) في عام ٢٠١٨م في المجموعة الرابعة بين ٢٠١٣-٢٠٢١م، وأقل القيم ١٨.٣٧ (م) عام ١٩٩٢م في المجموعة الأولى بين ١٩٩٤-١٩٨٦م، أعلى مدي سنوي ١٠.٣٣ (م) في المجموعة الرابعة، علاقة الارتباط موجبة طردية في المجموعات الأربع، الانحراف المعياري ضعيف في المجموعات الأربع.
٥. درجة الحرارة العظمى تضم أعلى القيم ٢٠١١ (م) عام ٢٠٠٩ (م) في المجموعة الثالثة، وأقل القيم ٢.٥٧ (م) عام ٢٠١٤ (م) في المجموعة الرابعة، أعلى مدي سنوي ٣٠.٤٥ (م) في المجموعة الأولى، علاقة الارتباط موجبة طردية في اغلب المجموعات فيما عدا المجموعة الثانية سالبة عكسية، الانحراف المعياري متوسط في الأربع مجموعات.
٦. درجة الحرارة الصغرى تضم أعلى القيم ٤٤.٨٨ (م) عام ٢٠٠٢ (م) في المجموعة الثانية، وأقل القيم ٣٧.٦٩ (م) عام ١٩٩٨ (م) في المجموعة الثانية، أعلى مدي سنوي ٧٠.١٩ (م) في المجموعة الثانية، علاقة الارتباط موجبة طردية في الأربع مجموعات، الانحراف المعياري متوسط في اغلب المجموعات بينما في المجموعة الثانية كان ضعيف.
٧. قيم درجة حرارة سطح الأرض تضم أعلى القيم ٢١.٦٩ (م) عام ٢٠١٨ (م) في المجموعة الرابعة بين ٢٠١٣-٢٠٢١م، وأقل القيم ١٩.٣ (م) عام ١٩٩٢ (م) في المجموعة الأولى بين ١٩٨٦-١٩٩٤م، أعلى مدي سنوي ١٠.٣٩ (م) في المجموعة الرابعة، علاقة الارتباط موجبة طردية في المجموعات الأربع، الانحراف المعياري ضعيف في المجموعات الأربع.
٨. قيم البخر نتح الممكن يضم أعلى القيم ١٣٨.٩٦ (ملم) في المجموعة الثالثة عام ٢٠١٠م، وأقل القيم ١٠٦.٢٤ (ملم) في المجموعة الأولى عام ١٩٩٢م، أعلى مدي سنوي ١١١.٧٢ (ملم) في المجموعة الرابعة، علاقة الارتباط موجبة طردية في المجموعات الأربع، الانحراف المعياري كبير في المجموعات الأربع.
٩. قيم الضغط الجوي عند مستوى سطح البحر يضم أعلى القيم ١٠١.٤٢ (مليبار) في المجموعة الأولى، وأقل القيم ١٠١.١٣ (مليبار) في المجموعة الثالثة، أعلى مدي سنوي ٠٠.١٩ (مليبار) في المجموعة الثالثة بين ٢٠١٢-٢٠٠٤م، علاقة الارتباط سالبة عكسية في المجموعات الأربع، الانحراف المعياري ضعيف في المجموعات الأربع.
١٠. قيم الرطوبة النسبية تضم أعلى القيم ٦٩.٢٥ (%) عام ٢٠٠٦ (م) في المجموعة الثالثة بين ٢٠١٢-٢٠٠٤م، وأيضاً أقل القيم ضمن المجموعة الثالثة لتسجل ٦٦.٣٨ (%) عام ٢٠١٠م، هذا وأعلى مدي سنوي ٦٠.٨٧ (%) سجل ضمن المجموعة الثالثة، علاقة الارتباط سالبة عكسية في المجموعات الأربع، الانحراف المعياري كبير في المجموعة الثالثة وبباقي المجموعات متوسطة.

١١. من قيم كمية المطر نجد أعلى القيم ٢٠١٥ م في المجموعة الرابعة بين ٢٠١٣-٢٠٢١ م، وأقل القيم ٠٠١٦ (ملم) عام ١٩٩٩ م في المجموعة الثانية و ٢٠٠٤ م في المجموعة الثالثة، أعلى مدى سنوي ٠٠٥٦ (ملم) في المجموعة الثانية، علاقة الارتباط سالبة عكسية في المجموعة الثانية والثالثة وباقى المجموعات موجبة طردية، الانحراف المعياري ضعيف في المجموعات الأربع.
١٢. قيم لنقطة الندى تضم أعلى القيم ١٢.٨٢ م في المجموعة الرابعة بين ٢٠١٣-٢٠٢١ م، وأقل القيم ١١.٣٩ م في المجموعة الأولى بين ١٩٨٦-١٩٨٧ م، أعلى مدى سنوي ١.٢٦ في المجموعة الرابعة، علاقة الارتباط سالبة عكسية في المجموعة الثالثة وباقى المجموعات موجبة طردية، الانحراف المعياري ضعيف في المجموعات الأربع.
١٣. قيم سرعة الرياح تضم أعلى القيم ١٨.٨ (عقدة) عام ١٩٩٦-١٩٩٧ م في المجموعة الثانية بين ١٩٩٥-٢٠٠٣ م، وأقل القيم ١٢.٥٩ (عقدة) عام ٢٠٠٧ م في المجموعة الثالثة بين ٢٠٠٤-٢٠١٢ م، أعلى مدى سنوي ٦.٠٣ (عقدة) في المجموعة الثانية، علاقة الارتباط سالبة عكسية في المجموعة الثانية والثالثة وباقى المجموعات موجبة طردية، الانحراف المعياري كبير في المجموعة الثانية بينما كان متوسط في باقى المجموعات .

### **التوصيات**

١. توفير البيانات المناخية اليومية بالساعات في المحطات المناخية للاستفادة منها في إنشاء البحوث العلمية .
٢. التعاون بين المحطات المناخية و المكتبات الجامعية بتوفر ذاته بيانات مناخية للتسهيل على الباحث .
٣. نضرا لارتفاع درجة الحرارة أوصي الاستفادة منها في توليد الطاقة الكهربائية .
٤. الاهتمام بكميات الإمطار المتزايدة مع الفترة الرابعة ٢٠١٣-٢٠٢١ م لزيادة مساحات خضراء .
٥. زيادة المساحات الخضراء تعمل علي وجود الرطوبة الجوية وتقلل من التبخر المتزايد .

## المراجع

١. أحمد الكوافي، " التغيرات المناخية وأثرها على الزراعة في طبرق: دراسة حالة"، مجلة الدراسات الزراعية، ٢٠٢٠م.
٢. الأطلس الوطني، ايسيلت، استكهولم، السويد، ١٩٧٨م.
٣. حسن بن ناصر، " تغيرات المناخ في شرق ليبيا: دراسة تحليلية للمناخ في شحات وطبرق وبنغازي" ، مجلة الدراسات البيئية والجغرافية، ٢٠٢٠م.
٤. خالد الفيتوري، " التغير المناخي في الجبل الأخضر: تأثيرات تغيرات درجات الحرارة وهطول الأمطار على الزراعة" ، مجلة دراسات المناخ والبيئة، ٢٠١٩م.
٥. عبد العزيز طريح شرف، الجغرافيا المناخية والنباتية، دار المعرفة الجامعية، ٢٠٠٠م.
٦. عبد الله الهادي الطاهر، "التغير المناخي في منطقة الجبل الأخضر: الآثار البيئية على المحاصيل الزراعية والمياه" ، مجلة دراسات الجغرافيا والمناخ، ٢٠١٧م.
٧. عبد الله بن محمد بن عبد الله القرني، الطقس والمناخ، مكتبة الرشد، ٢٠٠٧م.
٨. علي سالم الشوشان، " تغيرات المناخ في المدن الساحلية الليبية: دراسة حالة طبرق وبنغازي" ، مجلة الجغرافيا والمناخ، ٢٠١٨م.
٩. علي عمار، " تغيرات المناخ في المنطقة الغربية الليبية: تحليل لدرجة الحرارة والأمطار" ، مجلة الجغرافيا والمناخ، ٢٠١٧م.
١٠. فاطمة الطيب، " تغيرات المناخ في المنطقة الساحلية الليبية: دراسة حالة طبرق وبنغازي" ، مجلة البيئة والموارد الطبيعية، ٢٠٢١م.
١١. فدوى إبراهيم سالم العقربي، الحرارة وأثارها على الراحة والإرهاق المناخي بشمال ليبيا (دراسة في المناخ التطبيقي)، (رسالة دكتوراه)، قسم الجغرافيا ونظم المعلومات الجغرافية، كلية الآداب، جامعة المنصورة، ٢٠٢١م.
١٢. محمد بن مصطفى، " التغيرات المناخية في المنطقة الشرقية من ليبيا: تحليل تغيرات عناصر المناخ في طبرق" ، مجلة الدراسات البيئية، ٢٠١٩م.
١٣. ناصر بن محمد السعدي، العلوم البيئية، دار الفكر، ٢٠١٠م.

## المراجع الأجنبية

1. Andrew. D. (2012). Introduction to Climate Science, Cambridge University Press.
2. David, M. G. (1992). Boundary Layer Climates: London.
3. James, C. M. :John, E. F.(2005) Meteorology: Understanding the Atmosphere: Cambridge.
4. John, D. A. (2007). An Introduction to Meteorology: New York.
5. John, D. P. (1986). Solar Radiation and the Earth's Atmosphere: New York, USA .
6. John, E. K. (2002). The Climate System: New York.
7. John, M. C.:Roger, G. B. (2003). Atmosphere, Weather and Climate: London.
8. John, M. T. Robert, H. B. (1999). Introduction to Climate: London.
9. Kurtulus, M. (2003). Radiative Transfer in the Atmosphere and Ocean: New York, USA.
10. Michael, J. P. (2006). Meteorology Today: An Introduction to Weather, Climate, and the Environment: Belmont, California .
11. Michael, J. P. (2006). Meteorology Today: An Introduction to Weather, Climate, and the Environment: Belmont, Californi.
12. Wallace E. Peters & John R. Dutton, (2003), Meteorology for Scientisis and Engineers, Brooks/Cole.
13. WMO. Guide to Meteorological Instruments and Methods of Observation. Available from the WMO website. WMO Instruments Guide
14. Yasser A. E. : Mounir, A. M. (2019). Climate Change Impacts and Adaptation Strategies in the Mediterranean Region. Routledge.

## موقع اكتروني

[Https://power.lars.nasa.gov/d](https://power.lars.nasa.gov/d)